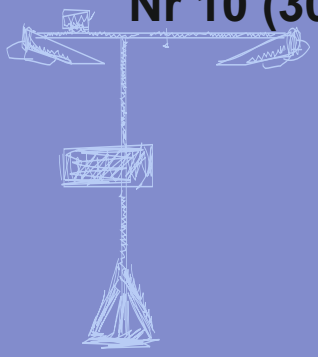
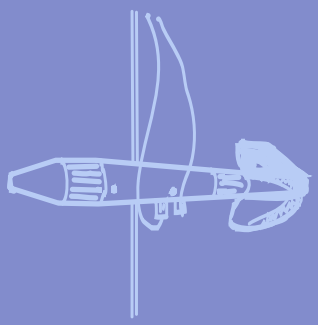
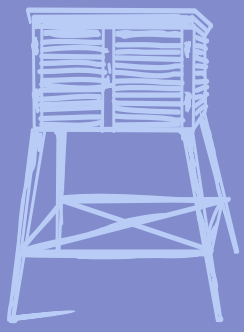
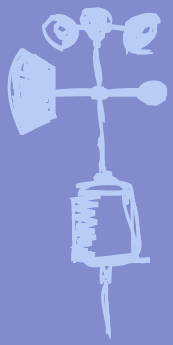
Nr 10 (303)

ISSN 1730-6124











B I U L E T Y N

PAŃSTWOWEJ SŁUŻBY HYDROLOGICZNO-METEOROLOGICZNEJ

PAŹDZIERNIK 2026

INSTYTUT METEOROLOGII I GOSPODARKI WODNEJ
PAŃSTWOWY INSTYTUT BADAWCZY

Redakcja biuletynu:

Agnieszka Pietrzykowska
Sławomir Wereski – redaktor naczelny

Pomiary i obserwacje, których wyniki zamieszczono w Biuletynie wykonywane są przez Państwową Służbę Hydrologiczno-Meteorologiczną IMGW-PIB.

Dane w Biuletynie (meteorologiczne i hydrologiczne) pochodzą z operacyjnej bazy danych i ich wartości mogą ulec zmianie po weryfikacji.


Petrobaltic
Beta
Łeba
Ustka
Gdynia
BMPM BPH
CMPiS WPiOH
Hel
Lębork
Gdańsk -Swibno
Kołobrzeg-Dźwirzyno
Koszalin
Gdańsk
Elbląg -Milejewo
Kętrzyn
Suwałki
Świnoujście
Resko -Smólsko
Barwice
Szczecin -Goleniów
Chojnice
Kwidzyn
Olsztyn
Mikołajki
Szczecinek
Szczecin
BPM
Piła
Toruń
Mława
Ostrołęka
Białystok
BPM
Gorzów Wielkopolski
Płock
Warszawa -Modlin
Legionowo
Słubice
Poznań
BPM CMPiS
WPiOH
Poznań -Ławica
Zielona Góra -Babimost
Koło -Radoszewice
Warszawa
CBPL-MBN
CBPM CBHO
WPiOH
Siedlce
Terespol
Warszawa
Radzyń
Zielona Góra
Leszno
Kalisz
Łódź
Włodawa
Kozienice
Wrocław
BPM BPH WPiOH
Legnica
Wieluń
Sulejów
Lublin
Lublin Radawiec
Jelenia Góra
Wrocław -Strachowice
Częstochowa
Kielce-Suków
Zamość
Sandomierz
Śnieżka
Katowice -Pyrzowice
Opole
Kłodzko
Katowice Muchowiec
Katowice
Kraków
BPM BPH
CMPiS WPiOH
Kraków -Balice
Rzeszów -Jasionka
Tarnów
Racibórz
Przemyśl
Krosno
Bielsko-Biała
Nowy Sącz
Zakopane
Hala Gąsienicowa
Kasprowy Wierch
Lesko
Warszawa Siedziba IMGW-PIB
Gdynia Siedziba biura terenowego
CBPM Centralne Biuro Prognoz Meteorologicznych
BPM Biuro Prognoz Meteorologicznych
BMPM Biuro Meteorologicznych Prognoz Morskich
CBHO Centralne Biuro Hydrologii Operacyjnej
BPH Biuro Prognoz Hydrologicznych
CMPiS Centrum Modelowania Powodziowego i Suszy
CBPL-MBN Centralne Biuro Prognoz Lotniczych - Meteorologiczne Biuro Nadzoru
Stacja Hydrologiczno-Meteorologiczna
Stacja Meteorologiczna z Lotniskową Stacją Meteorologiczną
Stacja Meteorologiczna
Wysokogórskie Obserwatorium Meteorologiczne
Stacja Badań Niwalnych
Automatyczna Stacja Synoptyczna
Stacja Badawcza Parowania
Stacja Pomiarów Aerologicznych
0 50 100 km

SPIS TREŚCI

1. Ogólna ocena sytuacji hydrologiczno-meteorologicznej w październiku 2026 4
2. Warunki meteorologiczne 6
3. Warunki hydrologiczne 19
4. Odpływ rzeczny 26
5. Jeziora 29
6. Parowanie z powierzchni wody 34

TABELE

2.1. Charakterystyki meteorologiczne w październiku 2026 16
3.1. Najwyższe dobowe sumy opadu w województwach (20 mm i wyższe) 19
3.2. Najwyższe dobowe przyrosty stanu wody (40 cm i wyższe, o 6 UTC) 19
3.3. Stacje wodowskazowe, na których stan wody w październiku 2026 był niższy od dotychczas obserwowanych wartości (do roku 2025) 21
4.1. Odpływ w październiku 2026 w stosunku do wartości charakterystycznych z wielolecia 1951-2020, w wybranych profilach wodowskazowych 27
5.1. Morfometria i zlewnie jezior 29
5.2. Stan i temperatura wody jezior w październiku 2026 32
5.3. Przezroczystość wody [m] 32
6.1. Sumy dekadowe i miesięczne parowania z powierzchni wody - basen 20 m^2 październik 2026 34
6.2. Przybliżone wartości współczynnika [R] dla zbiorników o różnej głębokości i powierzchni do 5 km^2 35
6.3. Sumy dekadowe i miesięczne parowania z powierzchni wody-ewaporometr GGI-3000 - październik 2026 35
6.4. Sumy dekadowe i miesięczne parowania (rzeczywistego) z powierzchni jezior - październik 2026 36

RYSUNKI

2.1. Mapa synoptyczna (2 X 2026, godz. 12 UTC) 6
2.2. Mapa synoptyczna (5 X 2026, godz. 12 UTC) 7
2.3. Mapa synoptyczna (10 X 2026, godz. 12 UTC) 8
2.4. Mapa synoptyczna (19 X 2026, godz. 12 UTC) 9
2.5. Mapa synoptyczna (25 X 2026, godz. 12 UTC) 10
2.6. Mapa synoptyczna (29 X 2026, godz. 12 UTC) 13
2.7. Średnia miesięczna temperatura powietrza w październiku 2026 14
2.8. Odchylenie średniej miesięcznej temperatury powietrza w październiku 2026, w stosunku do średniej 1991-2020 14
2.9. Miesięczna suma opadu atmosferycznego w październiku 2026 15
2.10. Anomalia miesięcznej sumy opadu atmosferycznego w październiku 2026, jako procent normy wieloletniej 1991-2020 15
2.11. Średnie dobowe i ekstremalne temperatury powietrza oraz dobowe sumy opadu atmosferycznego w październiku 2026 17
3.1. Wysokość opadów średnich [mm] i przebieg stanu wody [cm] dla wybranych zlewni w Polsce w październiku 2026 23
3.2. Hydrogramy stanu wody na Wiśle, Narwi i Bugu w październiku 2026 24
3.3. Hydrogramy stanu wody na Odrze, Nysie Kłodzkiej i Warcie w październiku 2026 25
4.1. Krzywe sumowe odpływu Wisły w Tczewie i Odry w Gozdowicach 26
5.1. Lokalizacja jezior bazowych i bilansowych sieci limnologicznej 29
5.2. Natlenienie i temperatura wody jezior bilansowych 33
6.1. Lokalizacja stacji ewaporometrycznych 34

1. Ogólna ocena sytuacji hydrologiczno-meteorologicznej w październiku 2026*

Średnia obszarowa temperatura powietrza w Polsce w październiku 2026 roku wynosiła 10,1°C i była wyższa od wieloletniej normy dla tego miesiąca (odchylenie od średniej z lat 1991-2020 wynosiło 1,4°C). Według kwantylowej klasyfikacji warunków termicznych miesiąc ten należy uznać za „ciepły" biorąc pod uwagę średnią dla Polski. Tegoroczny październik pod względem termicznym był w całym kraju powyżej normy wieloletniej (od 0,3°C do 2,3°C), a na Pomorzu i Suwalszczyźnie nawet znacznie powyżej normy, jedynie miejscami na południu kraju temperatura utrzymywała się w normie. Najwyższe dodatnie odchylenie od normy wieloletniej zanotowano w Suwałkach: średnia miesięczna temperatura powietrza wyniosła tam 9,3°C i była o 2,3°C wyższa od normy, a najniższe w Opolu: średnia miesięczna temperatura powietrza wyniosła tam 9,9°C, czyli o 0,3°C powyżej normy. Najwyższa średnia miesięczna temperatura powietrza została zmierzona w Helu i w Ustce, gdzie osiągnęła 11,8°C, najniższa – w Jeleniej Górze i Kielcach po 9,0°C, a w górach na Kasprowym Wierchu 2,2°C. Najwyższą temperaturę maksymalną, 25,6°C, odnotowano w Słubicach 1 X, a najniższą temperaturę minimalną, -3,3°C, w Jeleniej Górze 27 X, natomiast na stacjach górskich najniższą wartość minimalną zanotowano na Kasprowym Wierchu 23 X (-6,4°C).

Pod względem opadów październik na przeważającym obszarze kraju był suchy i bardzo suchy, a w rejonie Kotliny Kłodzkiej oraz miejscami na wybrzeżu także skrajnie suchy (poniżej 50% normy). Na wschodzie i południu październik był z kolei miejscami wilgotny, a w rejonie Opolszczyzny także bardzo wilgotny (128-143% normy). Najwyższe przekroczenie miesięcznej normy opadów zanotowano w Opolu: 143,1% normy, przy sumie miesięcznej 59,4 mm, a najniższy procent normy w Kętrzynie: 42,0% przy sumie 23,0 mm. Najwyższą miesięczną sumę opadów zanotowano w Lesku: 72,6 mm (111,5% normy), a w górach na Hali Gąsienicowej 100,8 mm (78,4% normy), natomiast najniższą w Kłodzku: 19,6 mm, co stanowiło 46,9% normy. Najwyższa dobowa suma opadów wystąpiła 22 X w Krośnie i wyniosła 22,4 mm, a w górach tego samego dnia na Hali Gąsienicowej spadło 31,4 mm.

Na rzekach w październiku notowano głównie tendencję spadkową i stabilizację, okresowo widoczne były wzrosty i wahania związane ze spływem wody opadowej oraz z pracą urządzeń hydrotechnicznych. Widoczny był także wpływ cyrkulacji atmosferycznej na poziom wody w Bałtyku, powodujący zmiany poziomu morza. W październiku nie zanotowano przekroczenia stanu alarmowego. W październiku wartości stanu wody niższe lub równe najniższej dotychczas obserwowanej wartości, do roku 2025, odnotowano na 47 stacjach hydrologicznych, na 35 w dorzeczu Wisły i na 12 w dorzeczu Odry. Najwyższe odchylenia od minimum notowano na stacji hydrologicznej Bardo na Nysie Kłodzkiej (2, 5, 6, 7, 8, 9 i 17 X), kiedy stan wody był niższy od dotychczasowego minimum (do 2025 roku) o 13 cm.

W październiku wartości odpływu w przekrojach rzek dorzecza Wisły i Odry były wyraźnie niższe od normy. W analizowanych przekrojach rzek Przymorza również odnotowano wartości poniżej normy, jednak niedobory były na ogół mniejsze.

W październiku 2026 odnotowano spadek średniego poziomu wody w jeziorach kontrolowanych wynoszący 4 cm. Stan wody średniej wystąpił w czterech jeziorach, wysokiej w dwóch, a niskiej w sześciu. Najwyższe odchylenie od średniego stanu wody z wielolecia

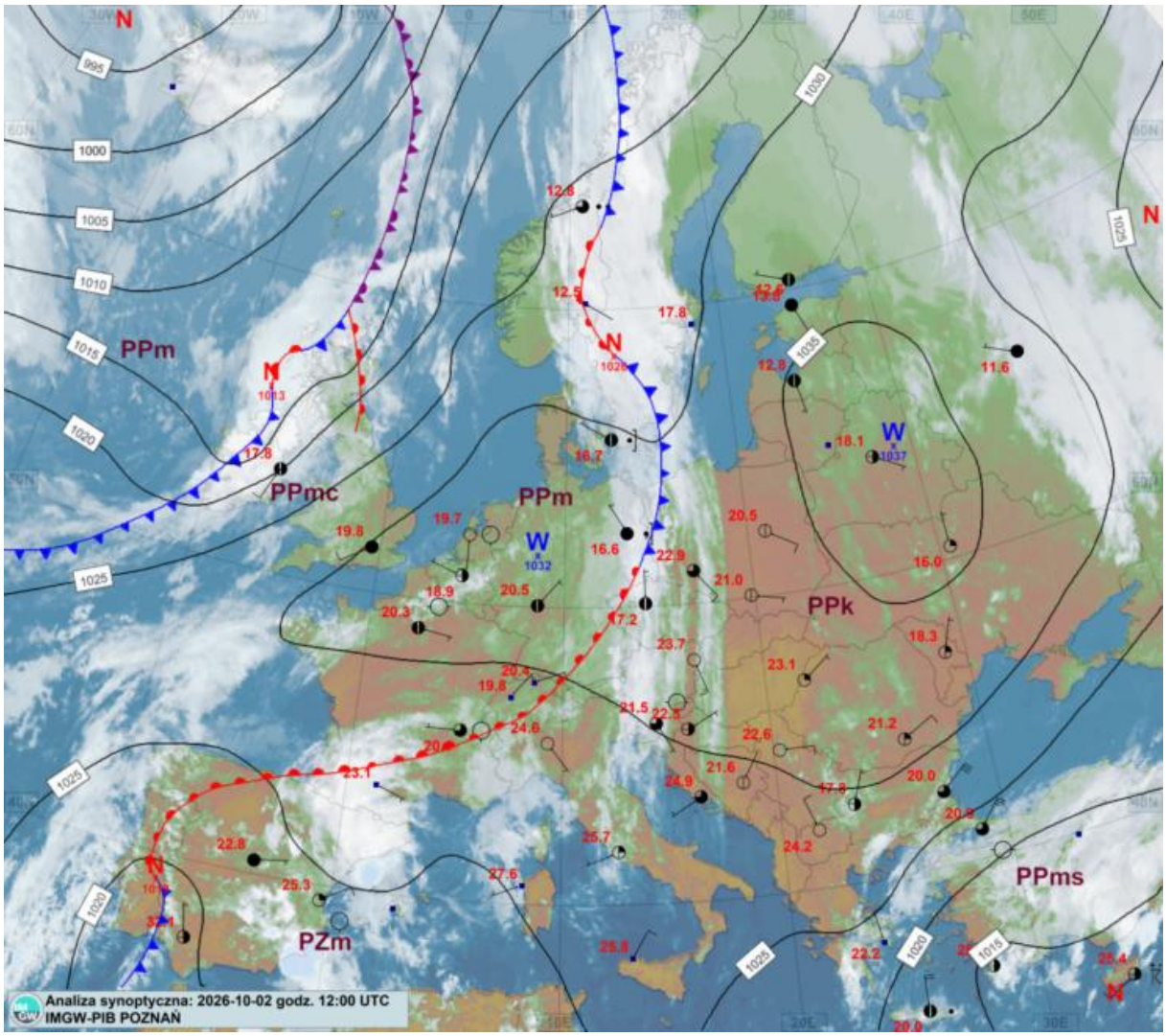
odnotowano w Jez. Powidzkim (-73 cm). W porównaniu do danych wieloletnich bieżący średni dla wszystkich jezior stan wody był wyższy o 1,7 cm. Średnia temperatura wody mierzona przy brzegu wyniosła 13,5°C, w tym najniższa: 12,0°C wystąpiła w Raduńskim G., a najwyższa: 14,2°C w Powidzkim.

W październiku sumy miesięczne parowania z basenów 20 m² na wszystkich stacjach ewaporometrycznych były zbliżone do średniej z wielolecia. Wynosiły od 31 mm w Borucinie do 45 mm w Kłodzku.

* Podane wartości pochodzą ze stacji synoptycznych. Wszystkie odniesienia dotyczą normy wieloletniej z lat 1991-2020.

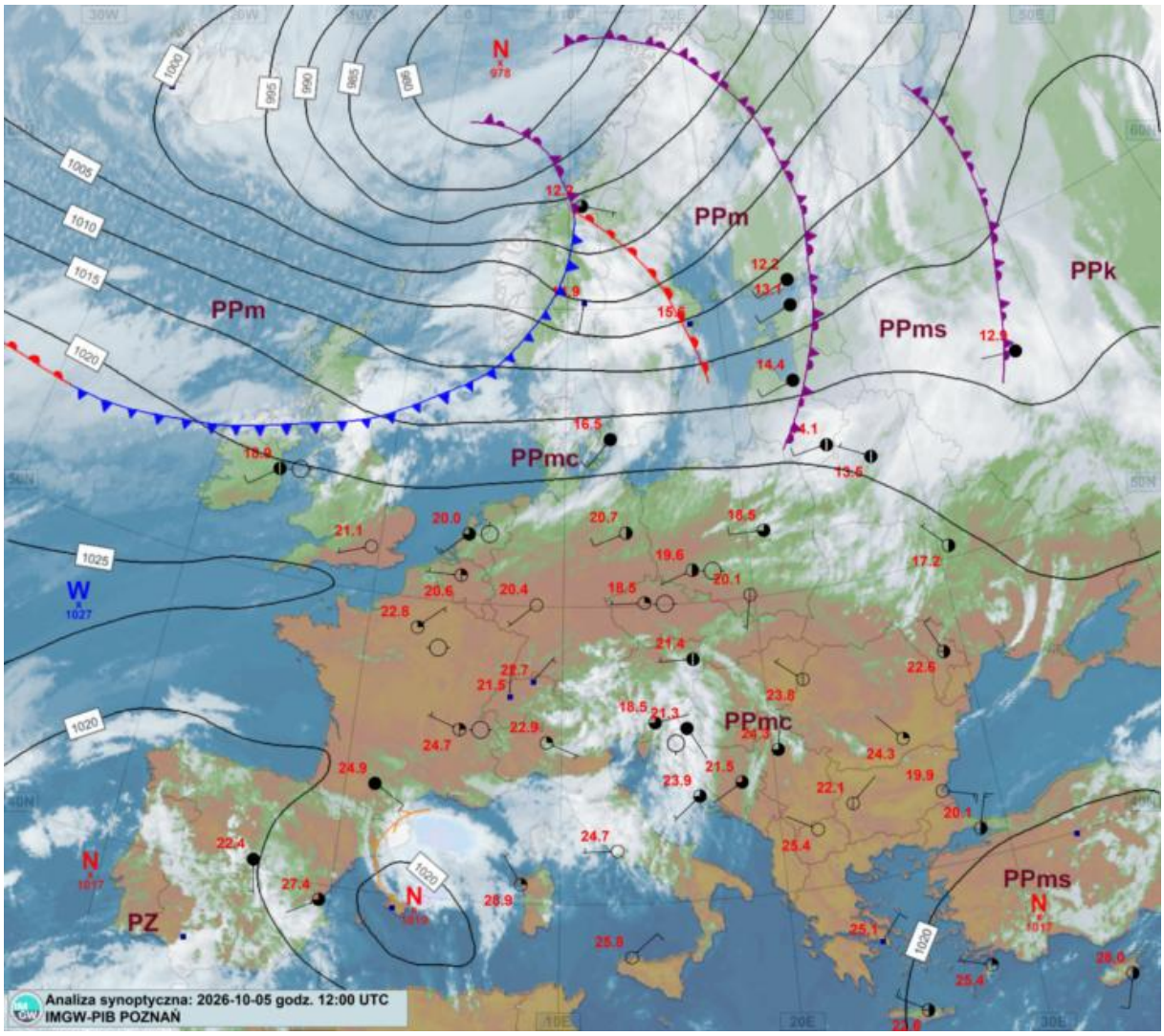
2. Warunki meteorologiczne

W dniach od 1 X do 3 X przeważający obszar kraju był w zasięgu wyżów znad zachodniej Rosji, Białorusi i Rumunii. Pod koniec okresu nad północno-zachodnią część kraju nasunęła się płytka zatoka z frontem atmosferycznym. Napływało stosunkowo ciepłe, ale dość suche powietrze polarne kontynentalne. Na ogół było pogodnie i ciepło, jedynie na zachodzie i północnym zachodzie zachmurzenie wzrastało okresami do umiarkowanego i dużego i tam miejscami padał słaby deszcz. Nocami tworzyły się lokalnie gęste mgły. Wiatr był słaby i umiarkowany, miejscami porywisty, początkowo południowo-wschodni i wschodni, później skręcający na kierunki zachodnie. Na Śnieżce porywy wiatru dochodziły do 33 m/s (1 X).



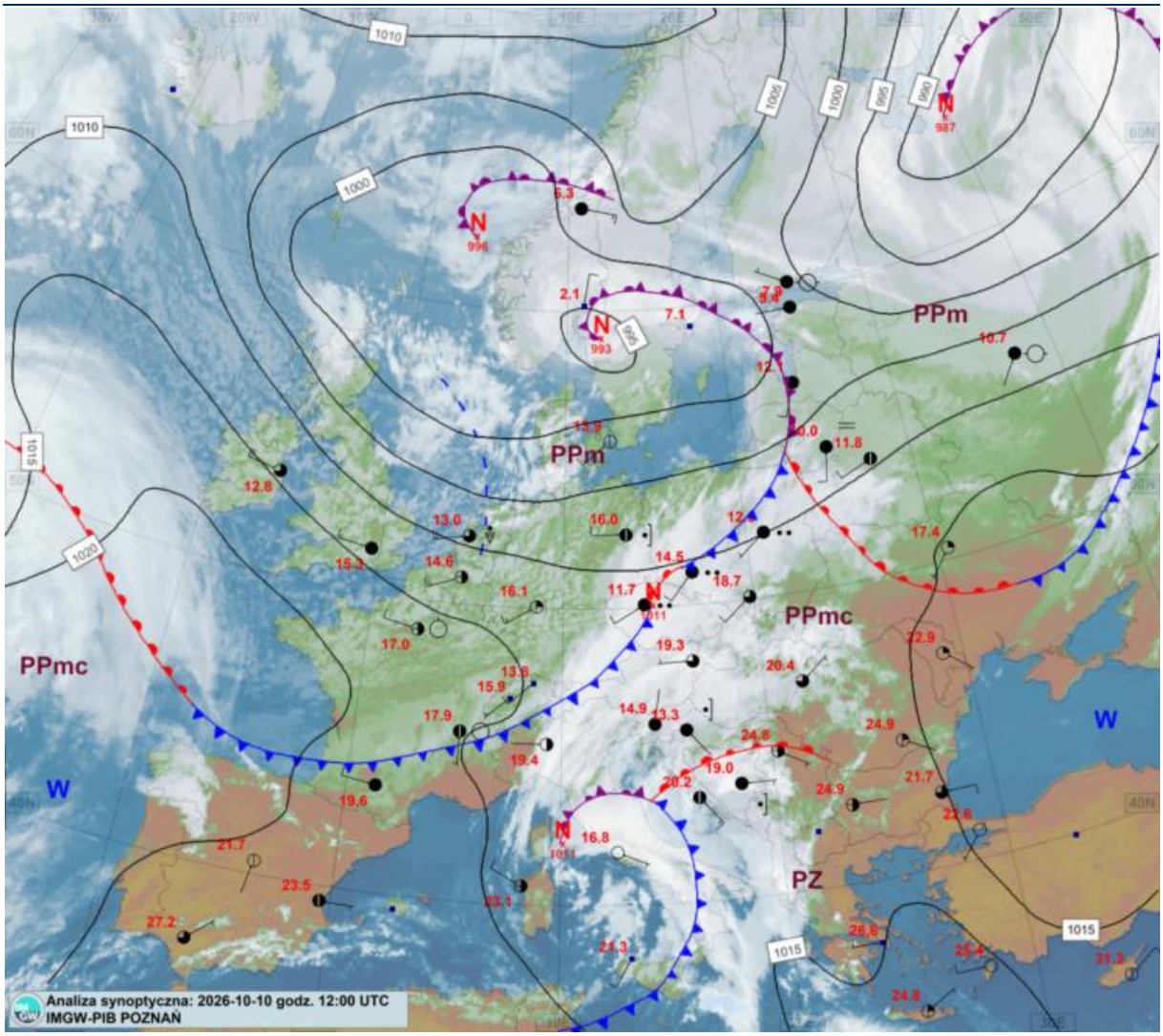
Rys. 2.1. Mapa synoptyczna (2 X 2026, godz. 12 UTC)

Od 4 X do 6 X Polska było w słabogradientowym obszarze podwyższonego ciśnienia. Nad obszarem kraju zaznaczały się strefy mało aktywnych frontów atmosferycznych. Napływało ciepłe powietrze polarne morskie. Zachmurzenie było małe i umiarkowane, tylko na północy okresami duże i tam miejscami padał przelotny deszcz. Nocami tworzyły się lokalnie gęste mgły. Wiatr był słaby, na północy okresami umiarkowany, z kierunków zachodnich.



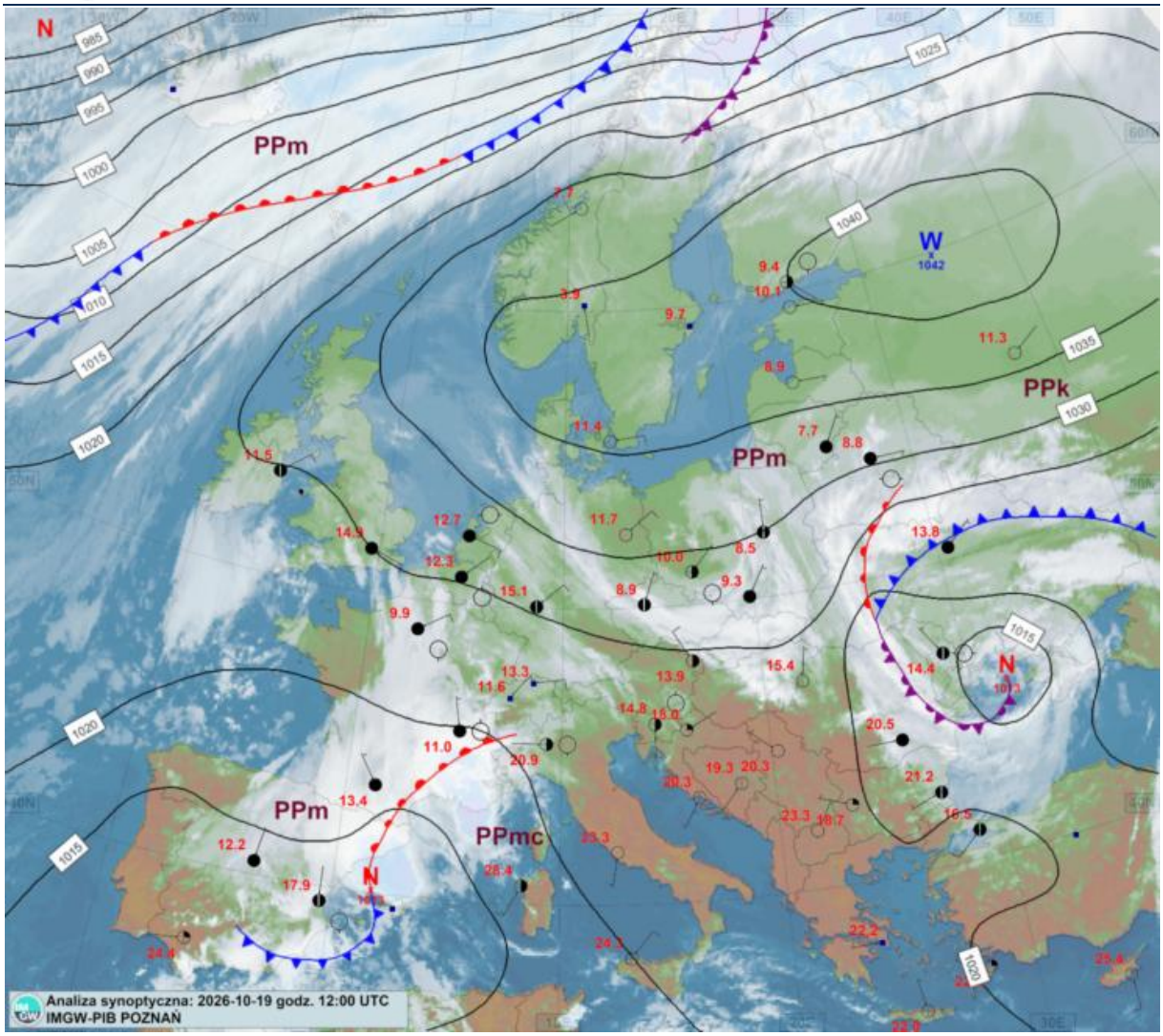
Rys. 2.2. Mapa synoptyczna (5 X 2026, godz. 12 UTC)

W okresie od 7 X do 14 X Polska była w zasięgu niżów z rejonu Skandynawii i Bałtyku. Z niżami tymi związane były strefy frontów atmosferycznych. Napływała polarna morska masa powietrza, przejściowo cieplejsza. Zachmurzenie było przeważnie umiarkowane i duże. Miejscami padał przelotny deszcz, a wysoko w górach także śnieg. Najwyższe dobowe sumy opadów atmosferycznych w tym okresie notowano na stacjach: Tępcz (woj. pomorskie, 21 mm, 8 X), Cisna (woj. podkarpackie, 25 mm, 10 X), Rogity (woj. warmińsko-mazurskie, 24 mm, 12 X). Nocami tworzyły się lokalnie gęste mgły. Wiatr był słaby i umiarkowany, okresami także dość silny i porywisty, z kierunków zachodnich. W dniach 7-10 X wystąpiły najsilniejsze porywy wiatru sięgające do 27 m/s w Ustce i 25 m/s w Łebie, a na Śnieżce nawet 42 m/s.



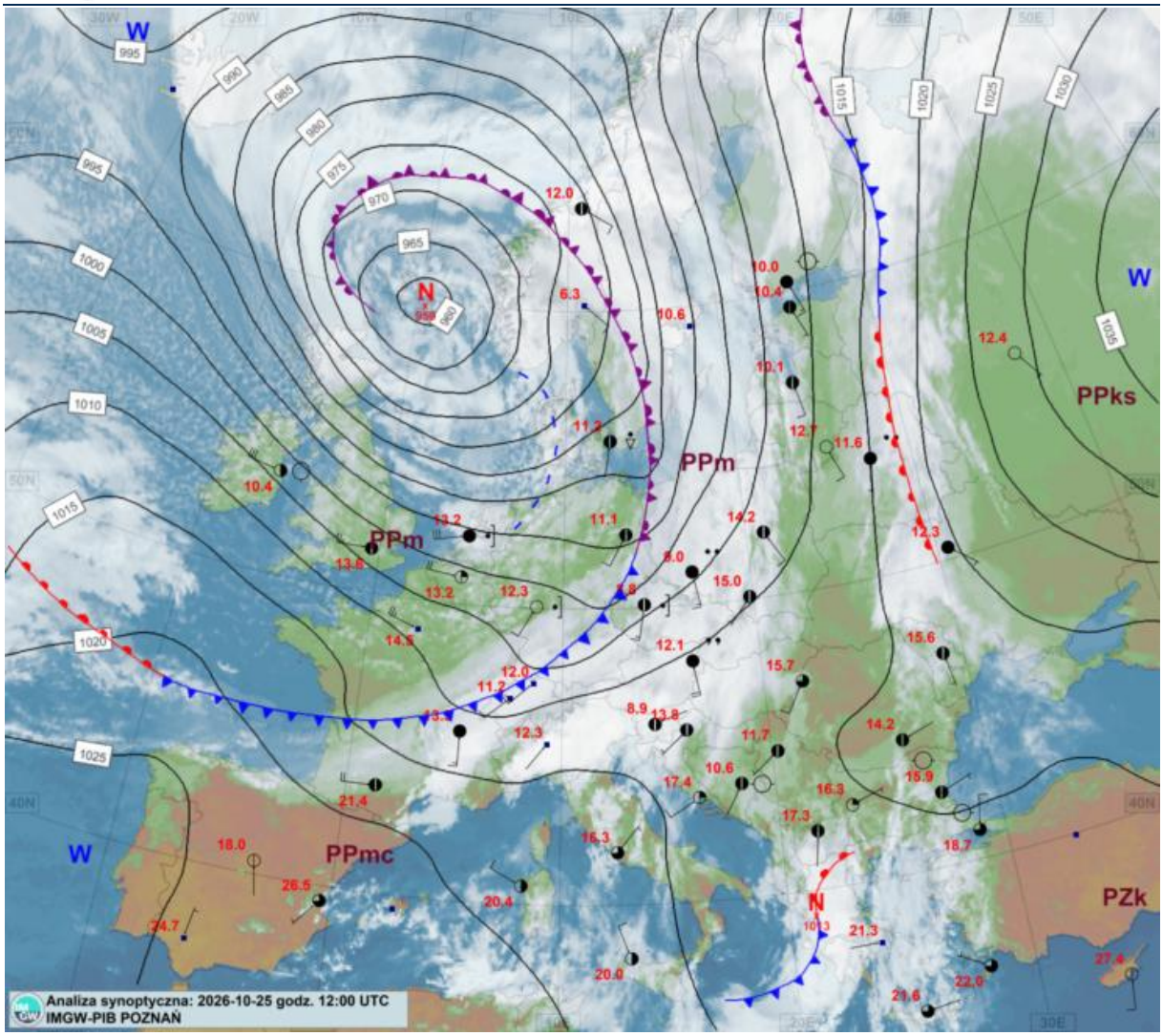
Rys. 2.3. Mapa synoptyczna (10 X 2026, godz. 12 UTC)

Od 15 X do 20 X Polska była pod wpływem wyżów znad środkowej Europy, Skandynawii oraz zachodniej Rosji, jedynie południowy wschód kraju znajdował się na skraju zatoki niżowej z ciepłym frontem atmosferycznym związanej z niżem znad Morza Czarnego i Ukrainy. Napływała polarna morska masa powietrza, początkowo ciepła, później chłodniejsza. Zachmurzenie było duże z większymi przejaśnieniami i rozpogodzeniami. Miejscami występowały słabe opady deszczu lub mżawki, a nocami w wielu miejscach tworzyły się gęste mgły. Wiatr był słaby i umiarkowany, na wybrzeżu okresami także dość silny i silny oraz porywisty, początkowo z kierunków południowych, później z kierunków północnych i wschodnich. W dniach 17-18 X wystąpiły najsilniejsze porywy wiatru sięgające na wybrzeżu do 23 m/s w Ustce. W górach najsilniejsze porywy wystąpiły 20 X, wtedy na Kasprowym Wierchu dochodziły one do 23 m/s, a na Śnieżce do 27 m/s.



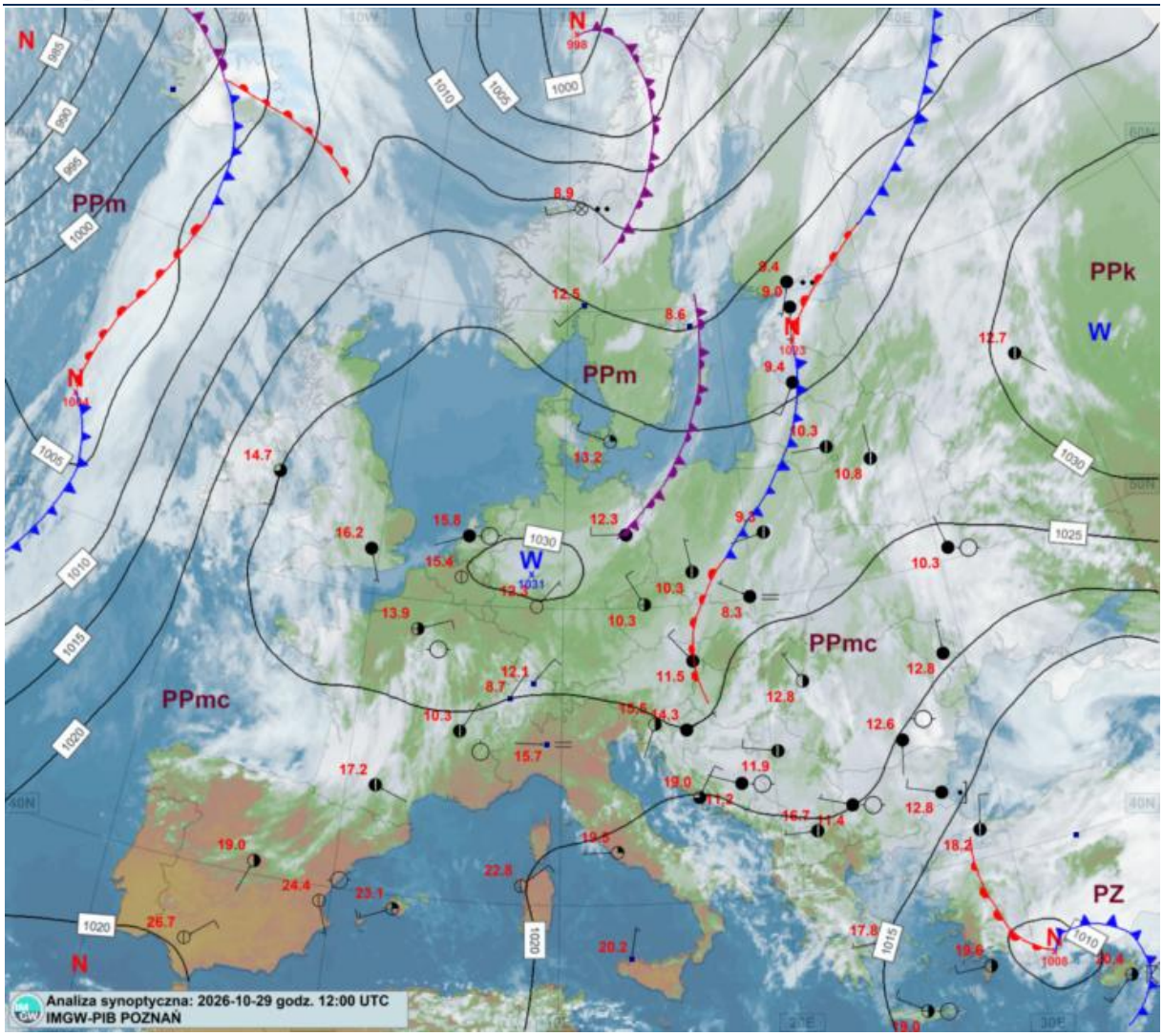
Rys. 2.4. Mapa synoptyczna (19 X 2026, godz. 12 UTC)

Od 21 X do 26 X pogodę w Polsce kształtowały układy niżowe znad zachodniej i północnej Europy oraz związane z nimi układy frontów atmosferycznych. Napływała polarna morska masa powietrza. Zachmurzenie było duże z większymi przejaśnieniami i rozpogodzeniami. Przez cały okres codziennie miejscami występowały opady deszczu, które najsilniejsze były w dniach 21-22 X. Najwyższe dobowe sumy opadów zarejestrowano nad Morskim Okiem (woj. małopolskie), w Iwoniczu-Zdroju (woj. podkarpackie) oraz w Raciborzu (woj. śląskie), spadło tam odpowiednio 34 mm, 26 mm i 25 mm. Na szczytach Tatr i Sudetów występowały okresami opady śniegu. Wiatr był słaby i umiarkowany, na wybrzeżu i w rejonach podgórskich okresami także dość silny i silny, miejscami porywisty, z kierunków południowych. Największe porywy wiatru wystąpiły pod koniec okresu, dochodziły one wtedy do 20 m/s nad morzem (Szczecin, Gdańsk-Świbno, Hel) i 22 m/s w rejonach podgórskich (Bielsko-Biała). Na Kasprowym Wierchu porywy wiatru dochodziły do 34 m/s, a na Śnieżce aż do 45 m/s.



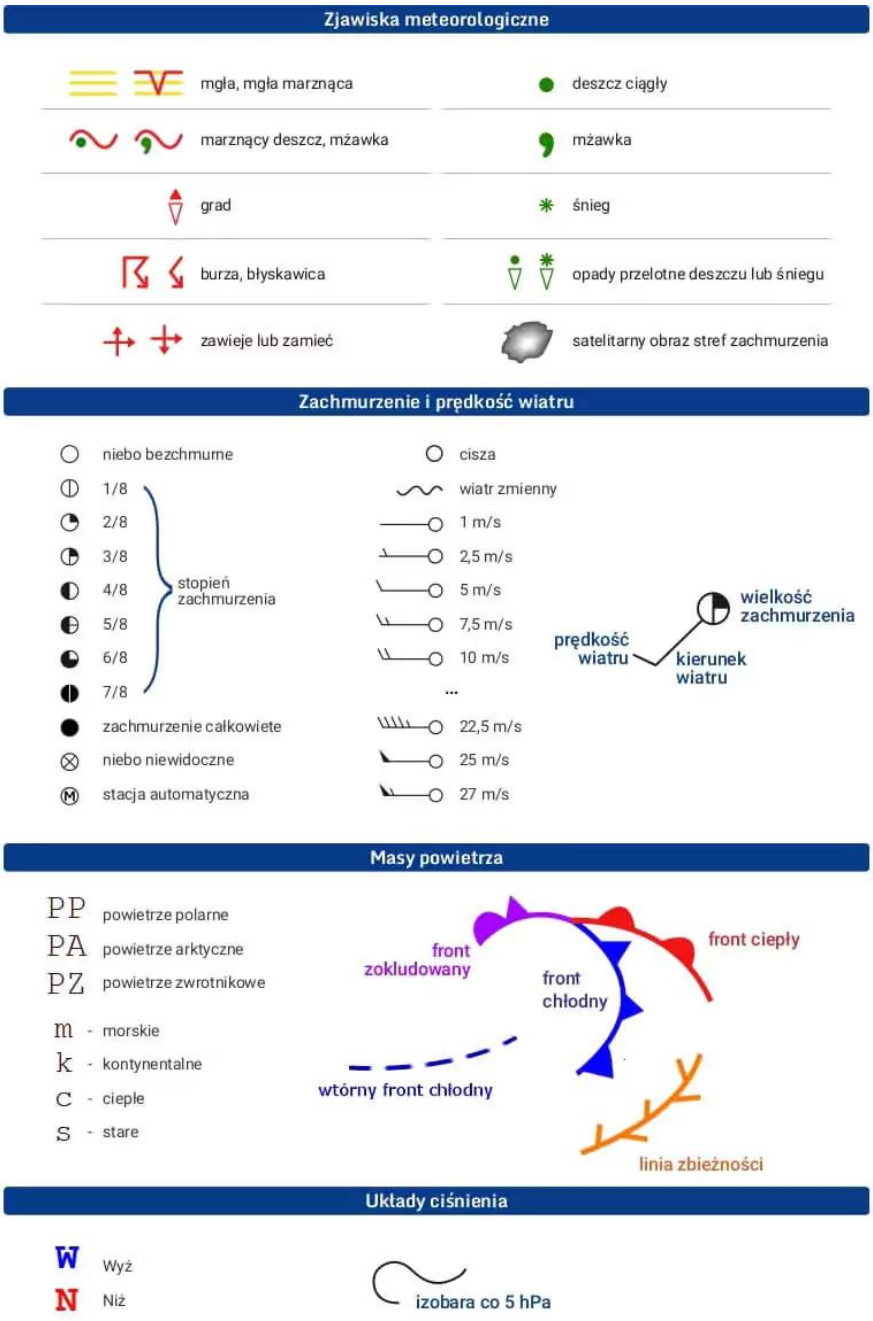
Rys. 2.5. Mapa synoptyczna (25 X 2026, godz. 12 UTC)

Od 27 X do 31 X Polsce była w zasięgu wyżów znad zachodniej Rosji i zachodniej Europy, jednak przejściowo pogodę kształtowała również płytka zatoka niżowa z mało aktywnymi frontami atmosferycznymi. Napływała polarna morska masa powietrza, przejściowo nieco cieplejsza. Zachmurzenie było duże z większymi przejaśnieniami i rozpogodzeniami. Miejscami występowały słabe opady deszczu lub mżawki, a nocami tworzyły się liczne mgły. Wiatr był słaby i umiarkowany, miejscami porywisty, z kierunków południowych, pod koniec okresu skręcający na kierunki północne. Na Śnieżce porywy wiatru dochodziły do 22 m/s.



Rys. 2.6. Mapa synoptyczna (29 X 2026, godz. 12 UTC)

Legenda do map synoptycznych:



Podsumowanie*

Średnia obszarowa temperatura powietrza w Polsce w październiku 2026 roku wynosiła 10,1°C i była wyższa od wieloletniej normy dla tego miesiąca (odchylenie od średniej z lat 1991-2020 wynosiło 1,4°C). Według kwantylowej klasyfikacji warunków termicznych miesiąc ten należy uznać za „ciepły" biorąc pod uwagę średnią dla Polski. Tegoroczny październik pod względem termicznym był w całym kraju powyżej normy wieloletniej (od 0,3°C do 2,3°C), a na Pomorzu i Suwalszczyźnie nawet znacznie powyżej normy, jedynie miejscami na południu kraju temperatura utrzymywała się w normie. Najwyższe dodatnie odchylenie od normy wieloletniej zanotowano w Suwałkach: średnia miesięczna temperatura powietrza wyniosła tam 9,3°C i była o 2,3°C wyższa od normy, a najniższe w Opolu: średnia miesięczna temperatura powietrza wyniosła tam 9,9°C, czyli o 0,3°C powyżej normy. Najwyższa średnia miesięczna temperatura powietrza została zmierzona w Helu i w Ustce, gdzie osiągnęła 11,8°C, najniższa – w Jeleniej Górze i Kielcach po 9,0°C, a w górach na Kasprowym Wierchu 2,2°C. Najwyższą temperaturę maksymalną, 25,6°C, odnotowano w Słubicach 1 X, a najniższą temperaturę minimalną, -3,3°C, w Jeleniej Górze 27 X, natomiast na stacjach górskich najniższą wartość minimalną zanotowano na Kasprowym Wierchu 23 X (-6,4°C).

W Warszawie średnia miesięczna temperatura powietrza wyniosła 10,4°C i była o 1,7°C wyższa od normy. Najwyższa temperatura powietrza, 22,3°C, wystąpiła 3 X, a najniższa, 0,0°C, 27 X. W latach 1951–2026 rekord temperatury październikowej w Warszawie wystąpił 5 X 1966 i wyniósł 25,9°C; niewiele niższą wartość, 25,8°C, zanotowano 3 X 2023. Najniższa temperatura minimalna w tym wieloleciu to -9,6°C z 31 X 1988.

Pod względem opadów październik na przeważającym obszarze kraju był suchy i bardzo suchy, a w rejonie Kotliny Kłodzkiej oraz miejscami na wybrzeżu także skrajnie suchy (poniżej 50% normy). Na wschodzie i południu październik był z kolei miejscami wilgotny, a w rejonie Opolszczyzny także bardzo wilgotny (128-143% normy). Najwyższe przekroczenie miesięcznej normy opadów zanotowano w Opolu: 143,1% normy, przy sumie miesięcznej 59,4 mm, a najniższy procent normy w Kętrzynie: 42,0% przy sumie 23,0 mm. Najwyższą miesięczną sumę opadów zanotowano w Lesku: 72,6 mm (111,5% normy), a w górach na Hali Gąsienicowej 100,8 mm (78,4% normy), natomiast najniższą w Kłodzku: 19,6 mm, co stanowiło 46,9% normy. Najwyższa dobowa suma opadów wystąpiła 22 X w Krośnie i wyniosła 22,4 mm, a w górach tego samego dnia na Hali Gąsienicowej spadło 31,4 mm.

W Warszawie miesięczna suma opadów wyniosła 35,4 mm, czyli 88,1% normy wieloletniej. Najwyższą dobową sumę, 14,0 mm, zanotowano 22 X. W latach 1951-2026 rekord dobowej sumy opadu to 50,3 mm z 6 X 1956.

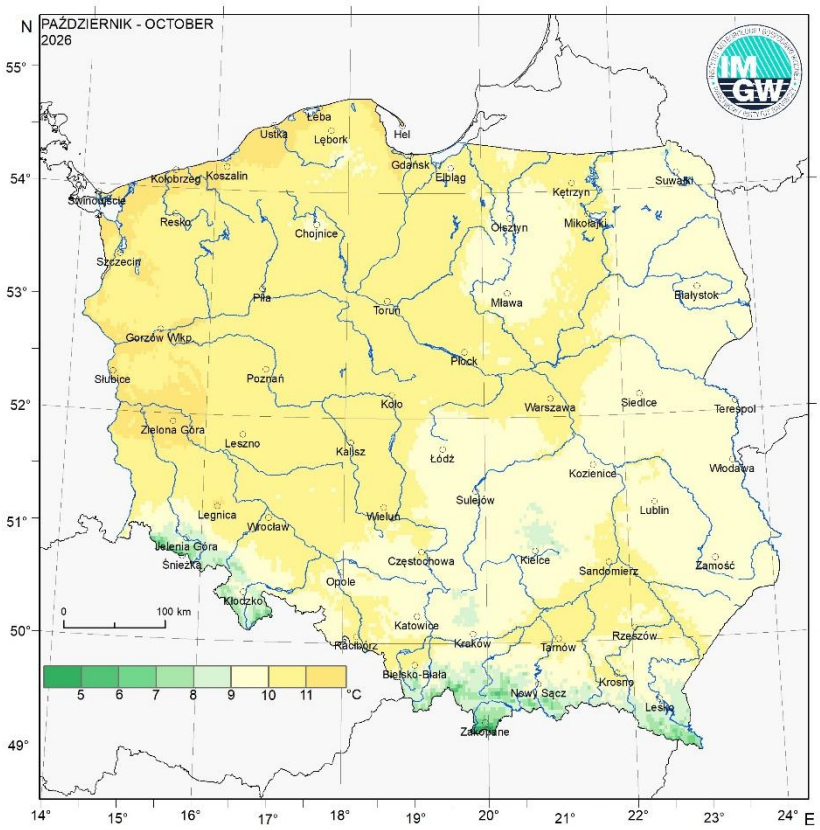
* Podane wartości pochodzą ze stacji synoptycznych. Wszystkie odniesienia dotyczą normy wieloletniej z lat 1991-2020.

Wartości ekstremalne dla października w wieloleciu 1951-2026:

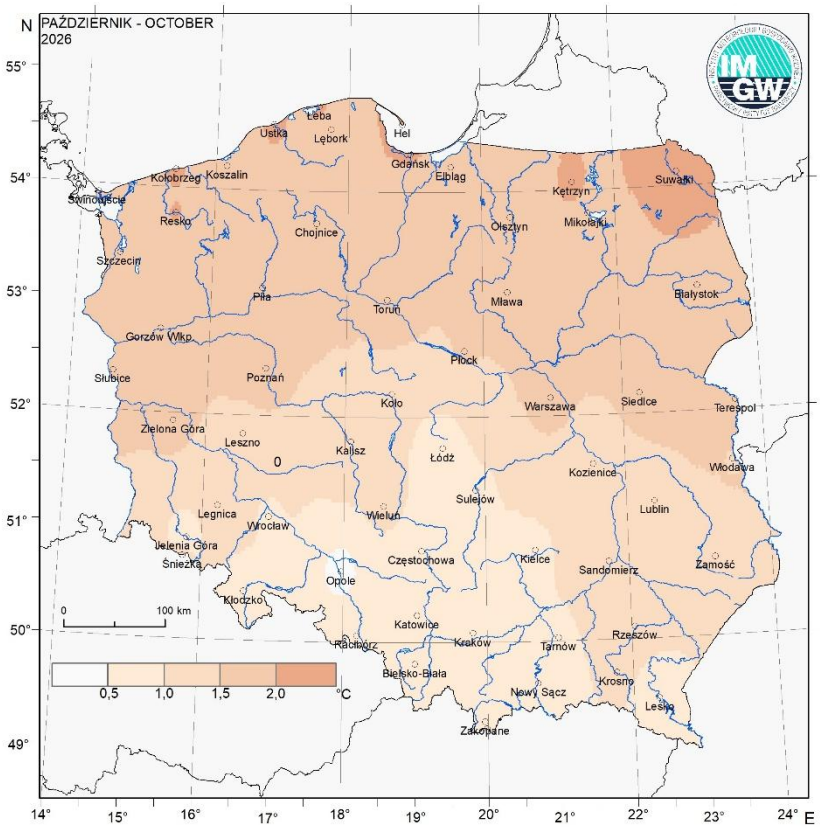
Najniższa temperatura	-14,2°C	w Suwałkach	31 X 1956,
	-15,2°C	na Kasprowym Wierchu	26 X 1988,
Najwyższa temperatura	29,3°C	w Legnicy	3 X 2023,
Najwyższa suma opadów	75,0 mm	w Przemyślu	4 X 2016,
	93,1 mm	na Śnieżce	28 X 1956.

Wartości ekstremalne dla października w dziesięcioleciu 2017-2026:

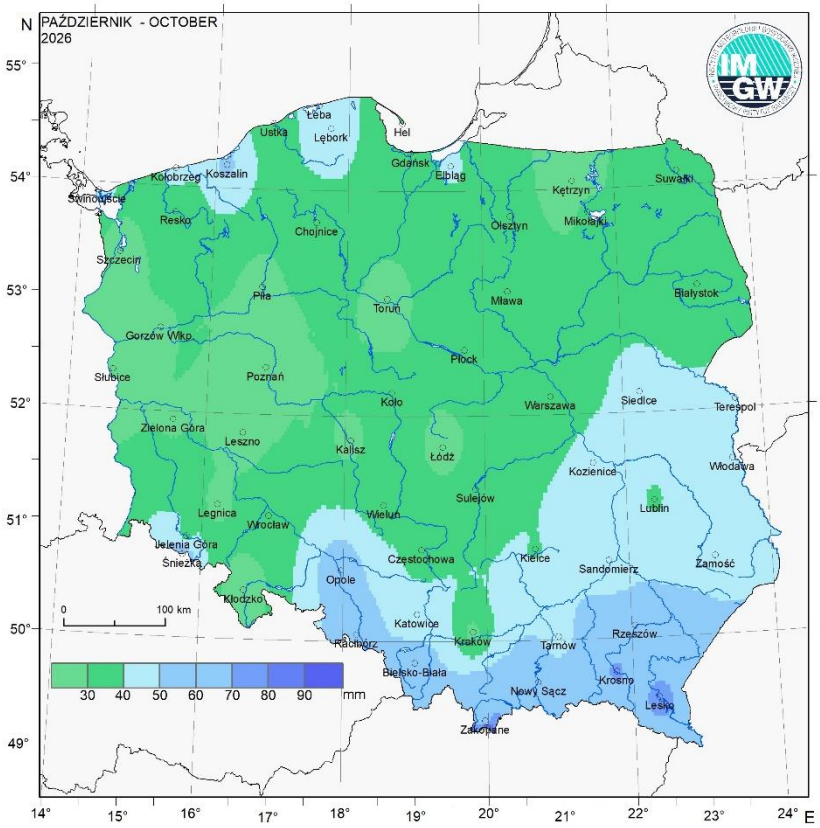
Najniższa temperatura	-7,5°C	w Jeleniej Górze	31 X 2019,
	-11,0°C	na Kasprowym Wierchu	31 X 2017,
Najwyższa temperatura	29,3°C	w Legnicy	3 X 2023,
Najwyższa suma opadów	51,4 mm	w Lesznie	13 X 2020,
	51,4 mm	w Wieluniu	13 X 2020.



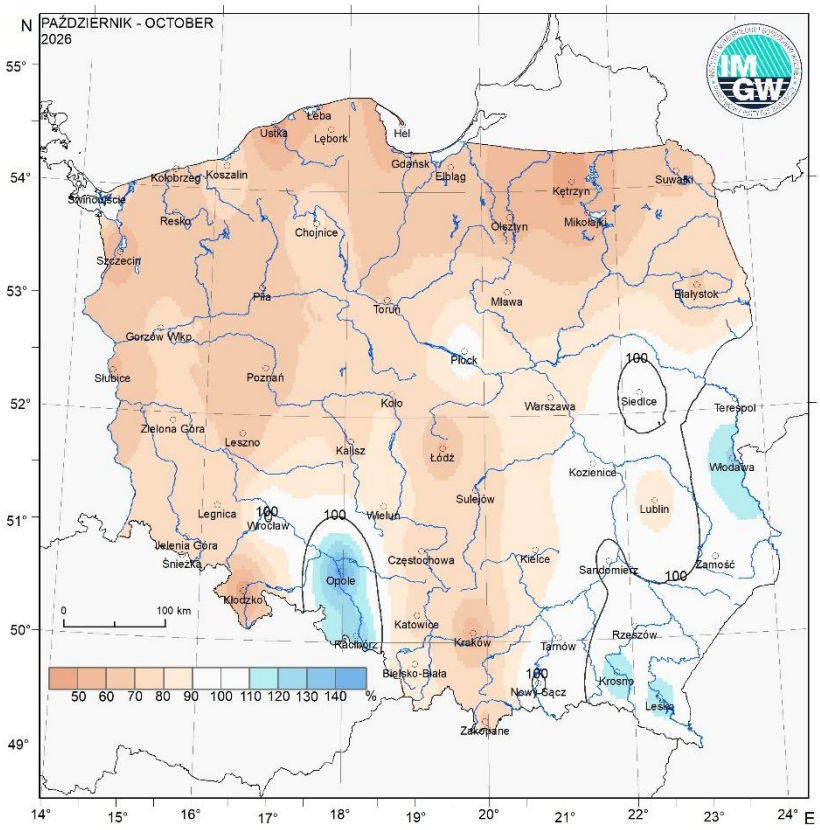
Rys. 2.7. Średnia miesięczna temperatura powietrza w październiku 2026



Rys. 2.8. Odchylenie średniej miesięcznej temperatury powietrza w październiku 2026, w stosunku do średniej wieloletniej 1991-2020



Rys. 2.9. Miesięczna suma opadu atmosferycznego w październiku 2026



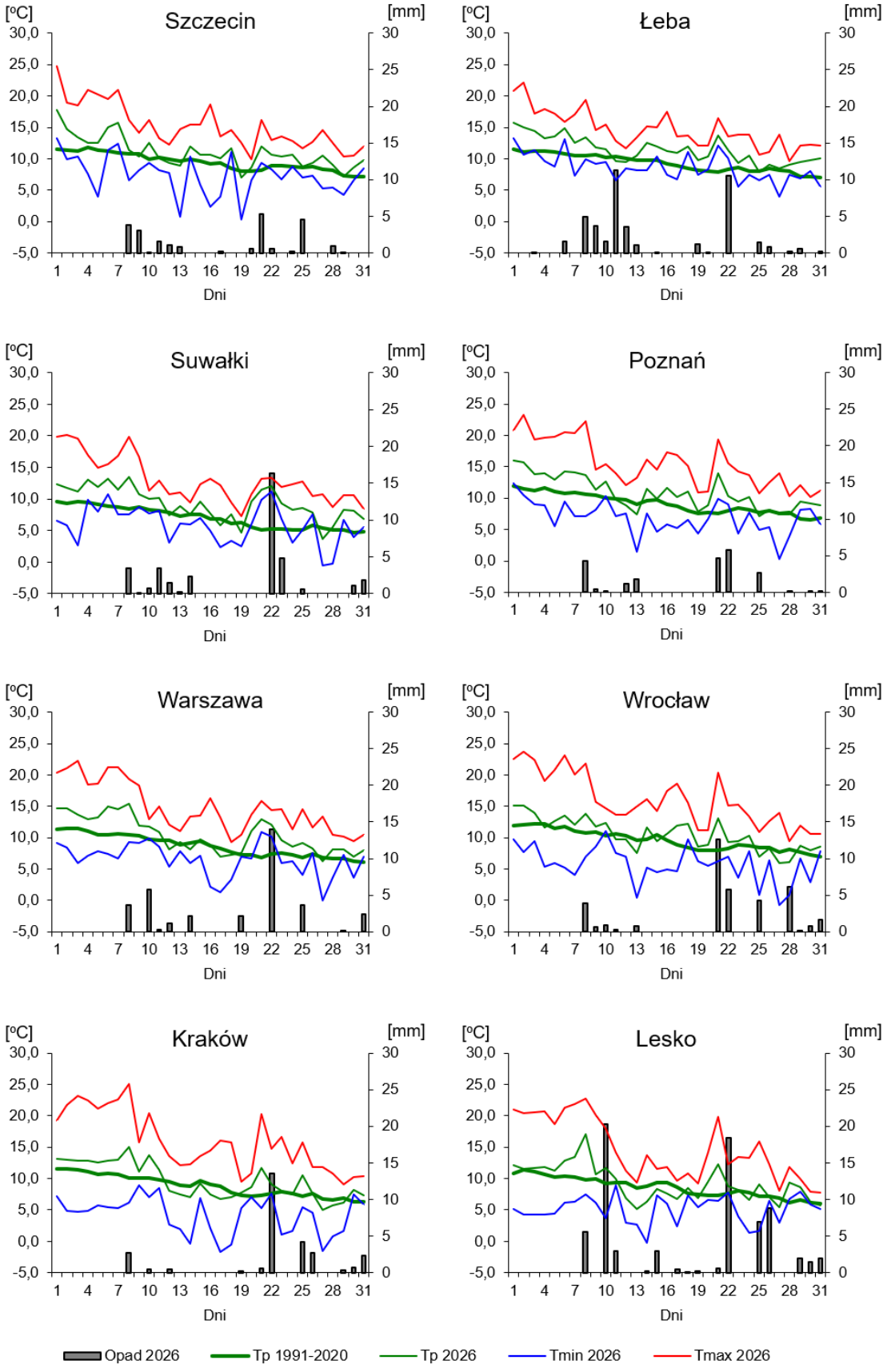
Rys. 2.10. Anomalia miesięcznej sumy opadu atmosferycznego
w październiku 2026, jako procent normy wieloletniej 1991-2020

Tab. 2.1. Charakterystyki meteorologiczne w październiku 2026

L.p.	Stacja	Temperatura powietrza						Temperatura gruntu na głęb. 5 cm		Opady atmosferyczne			Wilgotność względna		Usłonecznienie
		T średnia [°C]	Odchylenie $T_{śr.}$ od normy* [°C]	T_{max} [°C]	T_{min} [°C]	T_{min} przy gruncie [°C]	Liczba dni z T_{min} przy gruncie < 0°C	T średnia [°C]	T min [°C]	Suma [mm]	% normy*	Liczba dni z opadem	Średnia %	Minimalna %	Suma [godz.]
1	Białystok	9,4	2,0	20,0	-1,2	-3,5	5	.	.	32,5	69	11	89	40	93,7
2	Chojnice	9,9	1,8	21,0	0,6	-2,0	2	10,9	5,5	37,4	82	14	85	43	123,5
3	Jelenia Góra	9,0	0,7	22,9	-3,3	-4,8	9	11,3	5,1	36,1	76	13	82	33	141,2
4	Katowice	9,4	0,5	23,3	-1,5	-3,9	9	11,4	5,6	40,6	76	9	81	28	164,4
5	Kielce	9,0	0,9	23,8	-2,7	-3,6	10	10,4	4,2	39,6	88	13	83	32	150,6
6	Koszalin	11,0	1,7	22,6	2,3	-2,2	1	.	.	51,6	78	17	83	44	108,9
7	Kraków	9,6	0,8	25,0	-1,7	-2,9	6	10,9	4,7	28,2	55	11	80	30	154,4
8	Lublin	9,7	1,5	23,9	-1,2	-3,5	7	10,8	5,0	39,2	83	13	83	34	125,3
9	Łódź	9,4	0,8	22,1	-2,4	-5,6	10	9,9	1,8	25,9	59	11	82	39	144,1
10	Mława	9,7	1,7	21,4	-0,5	-2,2	4	12,9	5,1	34,0	78	9	86	29	108,0
11	Olsztyn	9,8	1,8	21,1	0,4	-2,1	4	15,1	6,5	30,6	53	14	86	33	108,8
12	Opole	9,9	0,3	22,8	-2,2	-3,7	4	11,5	3,1	59,4	143	12	80	32	160,9
13	Poznań	10,9	1,8	23,3	0,3	-3,1	2	12,7	6,8	21,4	60	11	79	35	143,1
14	Rzeszów	10,1	1,2	24,1	-1,1	-3,0	3	11,2	4,3	50,7	102	11	80	24	139,2
15	Suwałki	9,3	2,3	20,2	-0,5	-2,9	2	14,4	7,5	36,3	69	12	89	45	83,4
16	Szczecin	11,0	1,5	24,8	0,3	-2,9	2	11,7	5,1	22,6	52	14	83	40	107,4
17	Terespol	9,8	1,7	23,5	-0,6	-2,0	8	10,9	4,3	40,0	106	14	85	34	100,8
18	Toruń	10,4	1,7	21,3	-0,3	-3,8	6	11,5	5,1	26,5	70	11	82	41	145,8
19	Warszawa	10,4	1,7	22,3	0,0	-2,9	4	10,9	3,5	35,4	88	10	82	33	116,4
20	Wrocław	10,5	0,9	23,7	-0,8	-3,1	4	11,9	6,8	37,9	101	12	80	34	135,4
21	Zakopane	7,2	0,7	20,0	-2,3	-4,7	11	8,1	0,2	53,3	66	12	77	27	158,7
22	Zielona Góra	11,0	1,7	23,8	3,4	1,2	-	12,1	5,8	29,5	72	15	79	39	139,3

Oznaczenie:
kreska (-) - zjawisko nie wystąpiło; kropka (.) - brak danych;

* wartości odniesiono do norm z okresu 1991-2020



Rys. 2.11. Średnie dobowe i ekstremalne temperatury powietrza oraz dobowe sumy opadu atmosferycznego w październiku 2026

Informacja o liczbie zarejestrowanych wyładowań atmosferycznych na obszarze Polski przez system wykrywania wyładowań PERUN

W październiku 2026 system wykrywania i lokalizacji wyładowań atmosferycznych PERUN zarejestrował na obszarze Polski 14 167 wyładowań, w tym:

- 13 754 wyładowań chmurowych,
- 33 wyładowania doziemne dodatnie,
- 380 wyładowania doziemne ujemne.

3. Warunki hydrologiczne

Ostatniego dnia września (30 IX) stan wody na Wiśle znajdował się głównie w strefie wody niskiej, tylko w górnym biegu i w ujściowym odcinku lokalnie w strefie wody średniej. Na Narwi i Bugu występowała strefa wody niskiej. Poziom wody na Odrze układał się głównie w strefie wody niskiej, tylko w górnym i ujściowym biegu miejscami w strefie wody średniej. Stan wody na Warcie układał się w strefie wody niskiej, tylko lokalnie w górnym biegu w strefie wody średniej.

Pod względem opadów październik na przeważającym obszarze kraju był suchy i bardzo suchy, a w rejonie Kotliny Kłodzkiej oraz miejscami na wybrzeżu także skrajnie suchy (poniżej 50% normy). Na wschodzie i południu październik był z kolei miejscami wilgotny, a w rejonie Opolszczyzny także bardzo wilgotny (128-143% normy). W tab. 2.1 przedstawiono charakterystyki meteorologiczne (m.in. opadowe) dla wybranych 22 miast położonych w różnych rejonach Polski. Liczba dni z opadem w miesiącu wynosiła najczęściej kilkanaście dni; najwięcej, 17 dni z opadem zanotowano w Koszalinie, a najmniej, 9 dni, w Mławie i w Katowicach.

Tab. 3.1. Najwyższe dobowe sumy opadu w województwach (20 mm i wyższe)

Data	Opad maks. [mm]	Lokalizacja	Województwo i % stacji z opadem powyżej 20mm	Zlewnia
8 X	21	Tępcz	pomorskie, 2%	Łeba
10 X	25	Cisna	podkarpackie, 25%	San
12 X	24	Rogity	warmińsko-mazurskie, 6%	Pasłęka
21 X	25	Racibórz	śląskie, 7%	Odra
	23	Sukowice	opolskie, 6%	Bierawka
22 X	34	Morskie Oko	małopolskie, 22%	Dunajec
	26	Iwonicz-Zdrój	podkarpackie, 31%	San
	24	Warszawa-Bielany	mazowieckie, 12%	Wisła
	23	Tolkmicko	warmińsko-mazurskie, 6%	Zalew Wiślany
25 X	22	Jakuszyce	dolnośląskie, 2%	Bóbr
	22	Łabowa	małopolskie, 4%	Dunajec
	21	Krempna	podkarpackie, 4%	Wisłoka

W tabeli 3.1 umieszczono najwyższe w województwach dobowe sumy opadu (20 mm i wyższe), jakie wystąpiły w poszczególnych dniach października. Na podstawie tych informacji można stwierdzić, że w październiku opady przekraczające 20 mm na dobę (uznawane za potencjalnie niebezpieczne) były notowane przez 6 dni w miesiącu, i nie były przy tym bardzo wysokie. Najwyższa dobowa suma opadów została zarejestrowana w dniu 22 X na stacji meteorologicznej Morskie Oko i spadły tam 34 mm.

Tab. 3.2. Najwyższe dobowe przyrosty stanu wody (40 cm i wyższe, o 6 UTC)

Data	Województwo	Rzeka	Stacja wodowskazowa	Przyrost stanu [cm]
5 X	kujawsko-pomorskie	Wda	Krąplewice	56
7 X	warmińsko-mazurskie	Lega	Kucze	61
	zachodniopomorskie	Radew	Białogórzyno	41
9 X	pomorskie	Łeba	Lębork 2	54
	pomorskie	Morze Bałtyckie	Dębki	44
15 X	zachodniopomorskie	Zatoka Pomorska	Świnoujście	40
18 X	pomorskie	Morze Bałtyckie	Łeba	50
	pomorskie	Morze Bałtyckie	Dębki	41
	zachodniopomorskie	Odra	Widuchowa	40

Data	Województwo	Rzeka	Stacja wodowskazowa	Przyrost stanu [cm]
22 X	dolnośląskie	Piława	Mościsko	52
	dolnośląskie	Piława	Dzierżoniów	46
	śląskie	Biała	Czechowice-Bestwina	41
23 X	podlaskie	Biała	Zawady	88
	małopolskie	Wisła	Czernichów-Prom	44
	podkarpackie	Stobnica	Godowa	41
24 X	warmińsko-mazurskie	Bauda	Nowe Sadłuki	76
	dolnośląskie	Odra	Malczyce	68
26 X	lubelskie	Minina	Młyniska	42
27 X	kujawsko-pomorskie	Wda	Krąplewice	62

Na rzekach w październiku notowano głównie tendencję spadkową i stabilizację, okresowo widoczne były wzrosty i wahania związane ze spływem wody opadowej oraz z pracą urządzeń hydrotechnicznych. Widoczny był także wpływ cyrkulacji atmosferycznej na poziom wody w Bałtyku, powodujący zmiany poziomu morza.

Zestawienie najwyższych dobowych przyrostów stanu wody (40 cm i wyższe, o 6 UTC) zamieszczono w tab. 3.2. Umieszczone tu najwyższe dobowe wartości wzrostów stanu wody, zgodnie z zasadą przyjętą w miesięcznych Biuletynach PSHM, dotyczą wartości z godz. 6 UTC. Również informacje o wysokości przekroczeń stanu ostrzegawczego i alarmowego podawane są w Biuletynach PSHM wg stanu na godz. 6 UTC.

Najważniejszymi przyczynami wysokich wzrostów stanu wody w rzekach w tym miesiącu były: praca urządzeń hydrotechnicznych, spływ wody opadowej oraz wpływ cyrkulacji na poziom wybrzeża Morza Bałtyckiego.

W październiku nie zanotowano przekroczenia stanu alarmowego. Stan ostrzegawczy w dorzeczach Wisły i Odry został przekroczony tylko na jednej stacji hydrologicznej: w Gryfinie na Odrze o 1 cm w dniu 18 X. Przekroczenie lub osiągnięcie stanu ostrzegawczego notowano także na Zalewie Szczecińskim w Trzebieży, i na Morzu Bałtyckim w Świnoujściu, Dziwnowie i Łebie – wszystkie także 18 X.

Ostatniego dnia października (31 X) stan wody na Wiśle znajdował się głównie w strefie wody niskiej, tylko w górnym biegu i w ujściowym odcinku lokalnie w strefie wody średniej. Na Narwi i Bugu występowała strefa wody niskiej. Poziom wody na Odrze układał się głównie w strefie wody niskiej, tylko w górnym i ujściowym biegu miejscami w strefie wody średniej. Stan wody na Warcie układał się w strefie wody niskiej, tylko lokalnie w górnym biegu w strefie wody średniej.

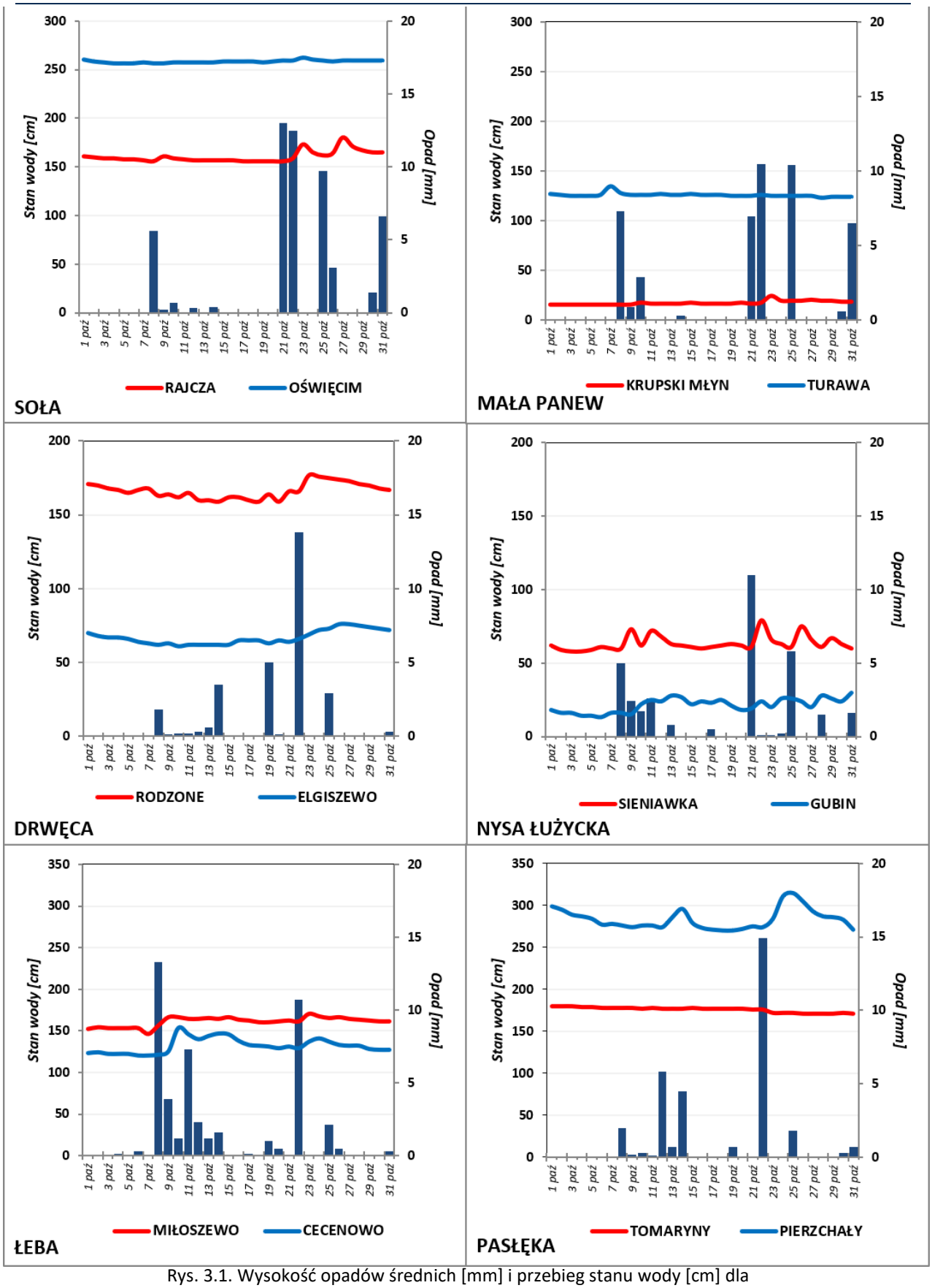
W październiku wartości stanu wody niższe lub równe najniższej dotychczas obserwowanej wartości, do roku 2025, odnotowano na 47 stacjach hydrologicznych, na 35 w dorzeczu Wisły i na 12 w dorzeczu Odry. Najwyższe odchylenia od minimum notowano na stacji hydrologicznej Bardo na Nysie Kłodzkiej (2, 5, 6, 7, 8, 9 i 17 X), kiedy stan wody był niższy od dotychczasowego minimum (do 2025 roku) o 13 cm. W poprzednim miesiącu takie wartości odnotowano na 64 stacjach.

Tab. 3.3. Stacje wodowskazowe, na których stan wody w październiku 2026 był niższy od dotychczas obserwowanych wartości (do roku 2025)

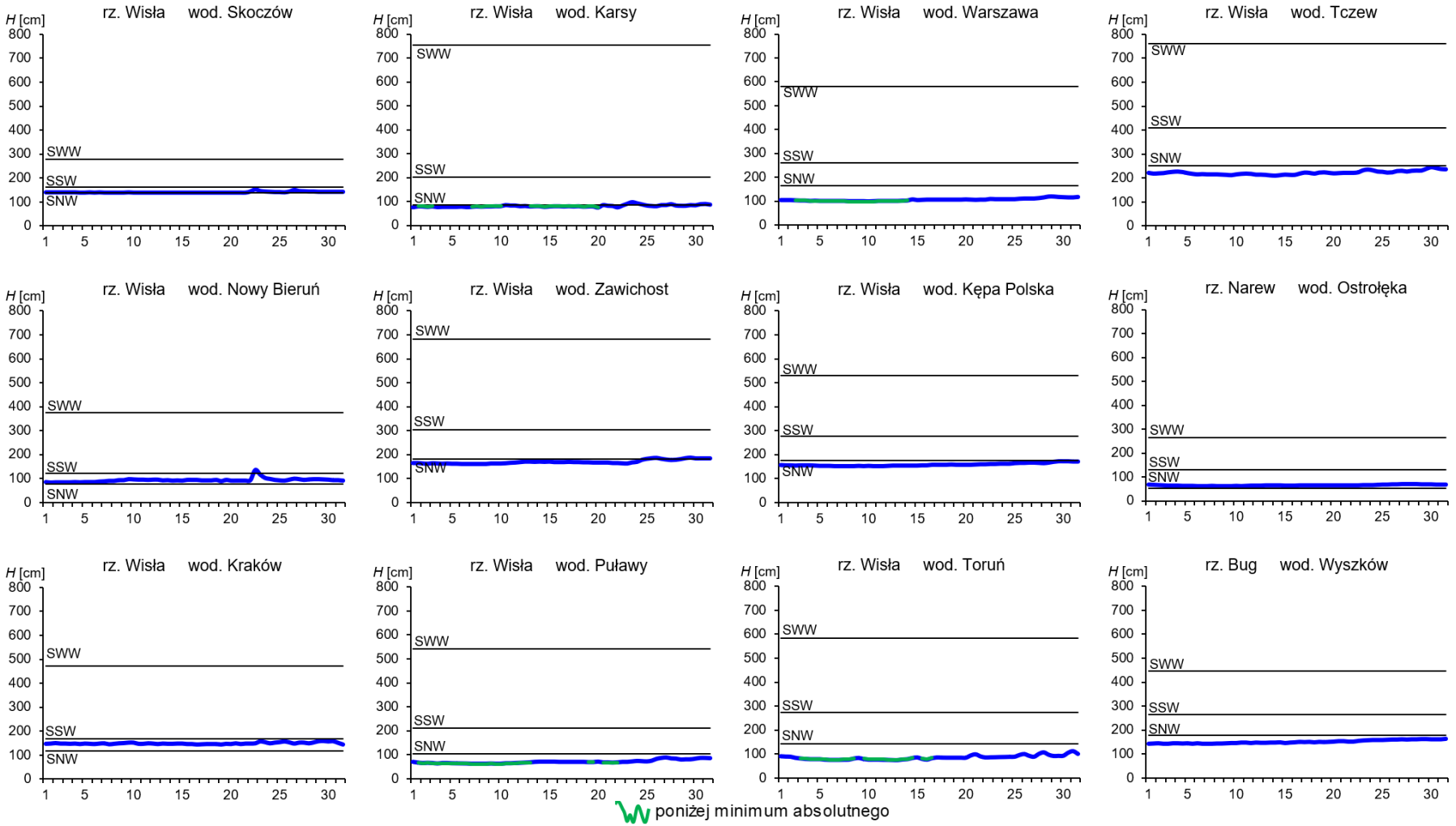
Lp.	Rzeka	Stacja wodowskazowa	$H_{min\ abs.}$ [cm]	Październik 2026 H_{min} [cm]	ΔH * [cm]	Data wystąpienia H_{min} (październik 2026)
Dorzecze Wisły						
1	Wisła	Wisła-Czarne	54	54	0	30, 31
2	Wisła	Sierosławice	30	27	3	3
3	Wisła	Karsy	82	75	7	20
4	Wisła	Annopol	162	152	10	6, 7, 8, 9, 10
5	Wisła	Puławy-Azoty	70	62	8	7, 8, 10
6	Wisła	Warszawa-Nadwilanówka	32	22	10	10
7	Wisła	Warszawa-Bulwary	104	98	6	10
8	Wisła	Modlin	193	187	6	6, 7, 8
9	Wisła	Toruń	85	76	9	13
10	Wisła	Fordon	86	82	4	8, 11, 12
11	Soła	Czaniec -Kobiernice	143	142	1	12, 13, 23, 26, 27, 28, 29
12	Raba	Dobczyce	214	210	4	27, 28, 29
13	Łososina	Jakubkowice	34	34	0	8, 9, 10
14	Czarna	Raków	100	99	1	10
15	Czarna	Połaniec	94	88	6	4, 6
16	Wisłoka	Krajowice	111	110	1	3, 4, 6, 7, 8, 10, 21
17	Wisłoka	Pustków	70	64	6	1, 2, 3, 4, 5, 6, 7, 8, 9, 10, 12, 14, 17, 18, 19
18	Wisłoka	Mielec 2	160	160	0	10
19	Jasiołka	Jasło	74	71	3	2, 3, 4, 5, 6, 8
20	San	Nisko	90	84	6	6, 9
21	San	Radomyśl	176	176	0	3, 4, 5, 6, 7, 8, 9, 10
22	Wetlina	Kalnica	256	256	0	4, 6, 7, 8
23	Wiar	Krówniki	52	52	0	4, 5, 6, 7, 8, 10
24	Wisłok	Tryńcza	164	159	5	3, 5, 6, 7, 8
25	Tanew	Harasiuki	76	72	4	2
26	Bukowa	Ruda Jastkowska	22	20	2	2, 7, 8, 9, 10, 19
27	Kamienna	Wąchock	2	2	0	10, 14
28	Wieprz	Trawniki	284	280	4	1, 2, 3, 4, 5, 6, 7, 8, 9, 10
29	Wieprz	Lubartów	162	160	2	2, 3, 4, 5, 7
30	Radomka	Rogożek	104	92	12	1
31	Pilica	Nowe Miasto	30	30	0	20, 21, 22, 29, 30
32	Bug	Włodawa	62	53	9	1, 2, 8, 9, 10, 11
33	Bug	Krzyczew	82	79	3	1, 2, 3, 4, 10
34	Bug	Zabuże	192	185	7	3, 5
35	Liwiec	Łochów	102	102	0	3, 4, 5, 6, 7, 8, 9, 10

Lp.	Rzeka	Stacja wodowskazowa	$H_{\text{min abs.}}$ [cm]	Październik 2026 H_{min} [cm]	ΔH * [cm]	Data wystąpienia H_{min} (październik 2026)
Dorzecze Odry						
1	Mała Panew	Krupski Młyn	17	16	1	1, 2, 3, 4, 5, 6, 7, 8, 9
2	Nysa Kłodzka	Międzylesie	79	79	0	1, 2, 3, 4, 5
3	Nysa Kłodzka	Bardo	38	25	13	2, 5, 6, 7, 8, 9, 17
4	Ścinawka	Tłumaczów	95	92	3	25
5	Strzegomka	Bogdaszowice	63	62	1	13, 14
6	Łomnica	Łomnica	220	211	9	27, 28, 29
7	Podgórna	Podgórzyn	51	49	2	4, 7, 8, 17, 21, 25
8	Kwisa	Gryfów Śląski	89	87	2	2
9	Warta	Osjaków	117	107	10	9, 10
10	Warta	Burzenin	54	50	4	10
11	Warta	Sieradz	134	131	3	10
12	Liswarta	Kule	74	69	5	8, 10

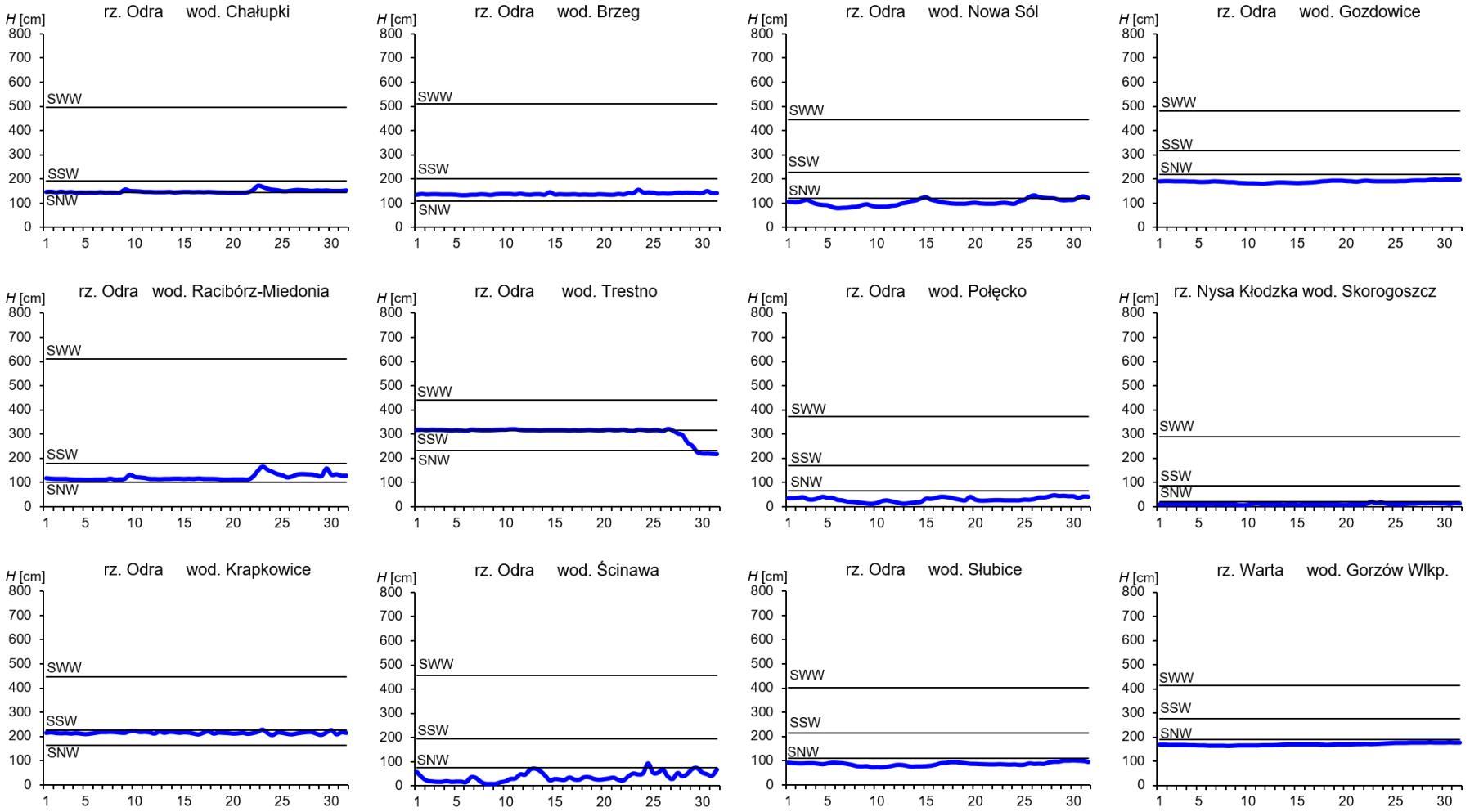
* $\Delta H = H_{\text{min abs.}} - H_{\text{min (październik 2026)}}$



Rys. 3.1. Wysokość opadów średnich [mm] i przebieg stanu wody [cm] dla wybranych zlewni w Polsce w październiku 2026



Rys. 3.2. Hydrogramy stanu wody na Wiśle, Narwi i Bugu w październiku 2026



Rys. 3.3. Hydrogramy stanu wody na Odrze, Nysie Kłodzkiej i Warcie w październiku 2026

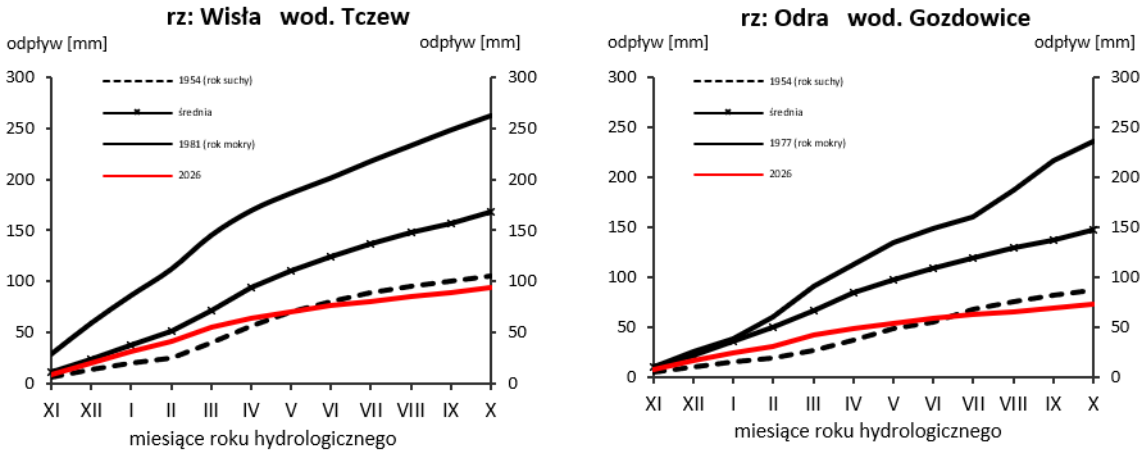
4. Odpływ rzeczny

W październiku wartości odpływu w przekrojach rzek dorzecza Wisły i Odry oraz w przekrojach rzek Przymorza były wyraźnie niższy od normy.

Odpływ (tab. 4.1) w dorzeczu Wisły wynosił od 24,4% normy w Wyszkowie na Bugu do 54,0% normy w Ostrołęce na Narwi, a w dorzeczu Odry od 30,1% normy w Osetnie na Baryczy do 55,9% w Nowym Drezdenku na Noteci. W rzekach Przymorza odpływ stanowił 77,3% odpływu normalnego w Resku na Redze, 81,5% w Słupsku na Słupi i 70,3% w Sępopolu na Łynie.

W dorzeczu Wisły odpływ kształtował się od 0,48 SNQ w Wyszkowie na Bugu do 1,57 SNQ w Nowym Sączu na Dunajcu, a w dorzeczu Odry od 0,64 SNQ w Sieradzu na Warcie do 2,67 SNQ w Osetnie na Baryczy. W rzekach Przymorza odpływ wyniósł 1,22 SNQ w Resku na Redze, 1,44 SNQ w Słupsku na Słupi i 1,61 SNQ w Sępopolu na Łynie. Odpływ Wisły do Bałtyku wyniósł w październiku 4,38 mm, tj. 41,7% normy, Odrą odpłynęło 3,85 mm, tj. 41,2% normy.

Odpływ rzeczny od początku roku hydrologicznego, tj. od 1 listopada 2025 do 31 października 2026 w dorzeczu Wisły zawierał się w granicach od 40,8% normy w Wyszkowie na Bugu do 71,9% w Nowym Sączu na Dunajcu, a w dorzeczu Odry od 34,5% normy w Osetnie na Baryczy do 52,7% w Nowym Drezdenku na Noteci. W przekrojach zamykających zlewnie: Wisły w Tczewie oraz Odry w Gozdowicach odpływ ten był równy odpowiednio: 55,7% i 49,5% odpływu normalnego, a w rzekach Przymorza wynosił: dla Regi 71,5%, dla Słupi 83,4%, a dla Łyny 88,4% normy.



Rys. 4.1. Krzywe sumowe odpływu Wisły w Tczewie i Odry w Gozdowicach

Tab. 4.1. Odpływ w październiku 2026 w stosunku do wartości charakterystycznych z wielolecia 1951-2020, w wybranych profilach wodowskazowych

Lp	Rzeka	Przekrój	A	Wartości średnie z okresu 1951 - 2020								Październik 2026					
				$\overline{Q}_{10}$	$\overline{H}_{10}$	$\overline{V}_{10}$	$\overline{Q}_{r}$	$\overline{H}_{r}$	$\overline{V}_{r}$	$\Sigma\overline{k}$	SNQ	Q	H	V	n	Q/SNQ	Σk
			[km^2]	[m^3/s]	[mm]	[mln m^3]	[m^3/s]	[mm]	[mln m^3]		[m^3/s]	[m^3/s]	[mm]	[mln m^3]	[%]		
1	2	3	4	5	6	7	8	9	10	11	12	13	14	15	16	17	18
1	Wisła	Sandomierz	31 810	218	18,4	584	287	285	9 063	1,000	101	83,8	7,06	224	38,4	0,83	0,625
2	Wisła	Warszawa	84 945	442	13,9	1 185	564	210	17 801	1,000	228	161	5,08	431	36,4	0,71	0,563
3	Wisła	Tczew	193 923	761	10,5	2 038	1 032	168	32 539	1,000	417	317	4,38	849	41,7	0,76	0,557
4	Dunajec	Nowy Sącz	4 337	46,2	28,5	124	65,0	472	2 049	1,000	14,9	23,4	14,5	62,7	50,7	1,57	0,719
5	San	Przemyśl	3 688	32,8	23,8	87,8	52,0	445	1 641	1,000	10,3	12,4	9,01	33,2	37,8	1,20	0,459
6	Wieprz	Kośmin	10 293	34,6	9,01	92,7	36,8	113	1 159	1,000	16,0	13,3	3,46	35,6	38,4	0,83	0,469
7	Pilica	Sulejów	3 927	19,0	12,9	50,8	22,0	177	695	1,000	8,98	8,36	5,70	22,4	44,0	0,93	0,490
8	Narew	Ostrołęka	21 921	81,8	10,00	219	108	156	3 411	1,000	42,7	44,2	5,40	118	54,0	1,04	0,503
9	Bug	Wyszków	38 394	103	7,16	275	152	125	4 799	1,000	52,3	25,1	1,75	67,2	24,4	0,48	0,408
10	Łyna	Sępopol	3 640	20,1	14,8	53,7	24,5	212	773	1,000	8,74	14,1	10,4	37,8	70,3	1,61	0,884
11	Odra	Racibórz-Miedonia	6 729	44,2	17,6	118	64,3	302	2 029	1,000	15,4	16,0	6,37	42,9	36,2	1,04	0,511
12	Odra	Ścinawa	29 612	134	12,1	358	177	189	5 589	1,000	62,9	49,0	4,43	131	36,7	0,78	0,461
13	Odra	Nowa Sól	36 840	161	11,7	431	200	171	6 292	1,000	79,4	55,5	4,04	149	34,5	0,70	0,476
14	Odra	Gozdowice	109 810	384	9,36	1 028	512	147	16 141	1,000	241	158	3,85	423	41,2	0,65	0,495
15	Nysa Kł.	Skorogoszcz*	4 489	25,5	15,2	68,3	35,7	251	1 127	1,000	9,12	7,96	4,75	21,3	31,2	0,87	0,378
16	Barycz	Osetno	4 580	13,8	8,06	36,9	14,8	102	466	1,000	1,55	4,14	2,42	11,1	30,1	2,67	0,345
17	Bóbr	Żagań	4 255	24,7	15,5	66,1	37,2	276	1 174	1,000	11,5	11,7	7,36	31,3	47,4	1,02	0,505
18	Warta	Sieradz	8 156	35,1	11,5	94,0	44,3	171	1 396	1,000	21,0	13,4	4,40	35,9	38,2	0,64	0,522
19	Warta	Poznań	25 909	72,8	7,53	195	99,4	121	3 135	1,000	39,6	28,0	2,89	75,0	38,4	0,71	0,498
20	Noteć	N. Drezdenko	15 932	61,2	10,3	164	72,6	144	2 289	1,000	38,4	34,2	5,75	91,6	55,9	0,89	0,527
21	Rega	Resko	1 134	7,20	17,0	19,3	8,70	242	274	1,000	4,57	5,56	13,1	14,9	77,3	1,22	0,715
22	Słupia	Słupsk	1 452	15,1	27,8	40,4	15,6	338	491	1,000	8,52	12,3	22,7	32,9	81,5	1,44	0,834

* - Przepływ jest pod wpływem gospodarki wodnej w zbiorniku.

Objaśnienia do tab. 4.1.

$Q_{\bar{m}}$	przepływ średni miesięczny z wielolecia,
$H_{\bar{m}}$	odpływ miesięczny średni z wielolecia,
$V_{\bar{m}}$	odpływ miesięczny średni z wielolecia,
m	indeks miesiąca
$Q_{\bar{r}}$	przepływ średni roczny, z wielolecia,
Hr	odpływ roczny średni z wielolecia,
$V_{\bar{r}}$	odpływ roczny średni z wielolecia,
r	indeks roku
$\sum \bar{k}$	wskaźnik sumarycznego odpływu od początku roku hydrologicznego (1 listopada) w stosunku do odpływu średniego rocznego będącego sumą odpływów średnich miesięcznych z wielolecia
SNQ	przepływ średni z minimalnych przepływów rocznych z wielolecia,
Q	przepływ średni miesięczny bieżącego roku,
H	odpływ miesięczny bieżącego roku,
V	odpływ miesięczny bieżącego roku,
n	procent w stosunku do wartości średniej z wielolecia $n = Q/\bar{Q} * 100\% = H/\bar{H} * 100\% = V/\bar{V} * 100\%$,
k	wskaźnik odpływu miesięcznego w stosunku do odpływu średniego rocznego $k = H/\bar{H}r = V/\bar{V}r$
∑k	wskaźnik sumarycznego odpływu od początku roku hydrologicznego (1 listopada) do końca danego miesiąca w stosunku do odpływu średniego rocznego

5. Jeziora



Rys. 5.1. Lokalizacja jezior bazowych i bilansowych sieci limnologicznej

Tab. 5.1. Morfometria i zlewnie jezior

Lp.	Jezioro	Jezioro				Zlewnia	Powierzchnia zlewni jeziora[2)]
		Powierzchnia[2)]	Objętość[1)]	Głębokość średnia[1)]	Głębokość maksymalna[1)]		
		[km^2]	[mln m^3]	[m]	[m]		[km^2]
1	Sławskie	8,3	43	5,2	12,3	Obrzyca – Odra	206,1
2	Powidzkie	10,7	131	12,7	45,4	Meszna – Warta	79,6
3	Komorze	3,9	49	11,8	34,7	Piława – Gwda	35,8
4	Sławianowskie	2,9	18	6,6	15,0	Głomia – Gwda	107,7
5	Ostrowite	3,6	36	9,4	28,5	Płociczna – Drawa	311,3
6	Morzycko	3,2	50	14,5	60,0	Słubia – Odra	60,6
7	Rajgrodzkie	14,6	143	9,4	52,0	Jegrznia – Biebrza	742,8
8	Dejguny	7,7	93	12,0	45,0	Pisa – Narew	57,7
9	Bachotek	2,2	15	7,2	24,3	Skarlanka – Drwęca	233,4
10	Jasień	5,7	48	8,3	32,2	Łupawa	71,7
11	Raduńskie Górne	3,8	60	15,5	43,0	Radunia	73,6
12	Dadaj	9,7	121	12,3	39,8	Wadąg – Łyna	340,1

[1)] *Atlas Jezior Polski* (1996, 1997, 2000)
[2)] *Mapa Podziału Hydrograficznego* (2010)

W październiku 2026 odnotowano spadek średniego poziomu wody w jeziorach kontrolowanych wynoszący 4 cm. Spadek lustra wody zanotowano w jedenastu jeziorach, natomiast wzrost dotyczył tylko jednego jeziora (Ostrowite). Największą miesięczną zmianę (spadek) zaobserwowano na Jez. Rajgrodzkim (-18 cm). Było to związane z pracą urządzenia hydrotechnicznego regulującego poziom wód tego jeziora. W pozostałych jeziorach zanotowano dużo mniejsze zmiany (maksymalnie było to ±5 cm). Stan wody średniej wystąpił w czterech jeziorach, wysokiej w dwóch, a niskiej w sześciu jeziorach. Najwyższe odchylenie od średniego stanu wody z wielolecia odnotowano w Jez. Powidzkim (-73 cm), w pozostałych jeziorach przekroczenia były niższe (±23 cm). W porównaniu do danych wieloletnich bieżący średni dla wszystkich jezior stan wody był wyższy o niecałe 2 cm (dokładnie 1,7 cm) i był znacznie mniejszy niż we wrześniu, w którym wynosił 5,5 cm. Ogółem w sześciu jeziorach aktualny stan wody był wyższy od wieloletniego, a w kolejnych sześciu był niższy. Największy niedobór wody wystąpił w Powidzkim (-73 cm), a największy nadmiar – w Dadaju (+52 cm).

W październiku we wszystkich jeziorach zanotowano spadek temperatury wody. Średni dla jezior spadek temperatury wyniósł 4,2°C (i mieścił się w zakresie od 3,9°C w Komorzu i Sławianowskim do 4,5°C w Jasieniu). Średnia temperatura wody mierzona przy brzegu wyniosła 13,5°C, w tym najniższa: 12,0°C wystąpiła w Raduńskim G., a najwyższa: 14,2°C w Powidzkim. Dzienne skrajne temperatury wody zmierzono w Jez. Raduńskim Górnym (9,3°C, 28 X) oraz w Jez. Sławskim (16,9°C, 3 i 7 X). Średnia temperatura wody jeziornej we wszystkich trzech analizowanych regionach Polski (Mazury, Pomorze, Niż) wahała się wokół wartości 13,0°C.

Średnia przezroczystość wody wszystkich jezior mierzona widzialnością krążka Secchiego wyniosła 3,2 m i była wyższa o 0,4 m od wartości z września: w ośmiu jeziorach widzialność wzrosła, w trzech spadła, a w jednym (Dejguny) - nie zmieniła się. Najwyższą wartość widzialności zmierzono w Jez. Powidzkim (6,1 m); wysoka była również w jez. Komorze (5,9 m), a najniższa w Sławskim (0,8 m). W związku z nadchodzącym ochłodzeniem oraz przewidywanym spadkiem intensywności procesów biologicznych przewiduje się wzrost przezroczystości wody w najbliższym czasie.

Rozkład temperatury wody w kontrolowanych jeziorach zbliżał się do układu charakterystycznego dla homotermii jesiennej. W porównaniu do września w epilimnionach (wszystkich jezior) stwierdzono znaczne obniżenie temperatury wody, zwykle do 13-15°C. W skali miesiąca spadek temperatury wody epilimnionów wynosił około 3°C. Największy spadek odnotowano w Ostrowitym (5,6°C), a tylko niewiele niższy w Komorzu (5,5°C). Najwyższą wartość temperatury wody epilimnionu: 14,7°C zmierzono w Powidzkim (była to też najwyższa temperatura wody odnotowana we wszystkich pionach pomiarowych jezior sieci limnologicznej), z kolei najniższą temperaturę wody epilimnionu (13,1°C) zmierzono w jeziorach: Komorze, Ostrowite, Dejguny i Raduńskie G. Spadek temperatury wody w epilimnionach jezior łączył się ze wzrostem miąższości tej warstwy. Wzrost miąższości epilimnionów (średnio wynosiła ona ok. 11 m) odbywał się kosztem zmniejszenia miąższości leżącego niżej metalimnionu. Maksymalną miąższość metalimnionu, około 11 m określono, w Bachotku, a niewiele mniejszą w Morzycku i Dadaju - około 9 m. Z reguły miąższość tej warstwy była niższa (4-7 m). Gradient spadku temperatury w warstwie metalimnionu wynosił

zwykle około 1°C, ale wartość najwyższa, zmierzona w Jez. Raduńskim G. (między 11 a 12 metrem głębokości) była wyraźnie wyższa i wynosiła 3,2°C/m. W najniższej warstwie wody, czyli w hipolimnionie, warunki termiczne nie uległy istotnym zmianom. Temperatura wody w tej strefie wynosiła zazwyczaj 6-9°C, a najniższą jej wartość, 5,1°C, zmierzono w dolnym hipolimnionie Jez. Rajgrodzkiego, a niewiele wyższą w wodach naddennych Jez. Ostrowite (5,4°C). Z kolei średnia temperatura wody, mierzona w głęboczkach we wszystkich pionach pomiarowych jezior wynosiła 9,2°C i była o 0,9°C niższa niż we wrześniu. Najwyższą średnią temperaturę wody odnotowano w jez. Bachotek (11,7°C), a najniższą w jez. Morzycko (8,2°C).

Wraz z ochłodzeniem wody jeziornej, jej natlenienie wzrosło. Miesiąc wcześniej wyniosło ono 2,3 mg O_2/dm^3 (w całym pionie głębokościowym, średnio dla wszystkich kontrolowanych jezior), a w październiku było już wyższe (2,8 mg O_2/dm^3). Najwyższą zawartość tlenu rozpuszczonego w całym pionie pomiarowym stwierdzono w Bachotku (3,3 mg O_2/dm^3), a najniższą w Morzycku (2,0 mg O_2/dm^3). Niemal wszystkie jeziora poprawiły swe warunki tlenowe. W epilimnionie natlenienie wody większości jezior zmieniło się w niewielkim stopniu. Najczęściej wynosiło ono około 8-10 mg O_2/dm^3. Wartość maksymalną natlenienia zmierzono w wodach Morzycka (10,5 mg O_2/dm^3). W dolnych partiach tej warstwy (epilimnionu, ze względu na to, iż miesiąc wcześniej był to metalimnion) stwierdzono wzrost natlenienia aż o kilka jednostek. Odnotowano też znaczne ograniczenie miąższości strefy poniżej tj. metalimnionu (na rzecz miąższości epilimnionu) oraz przesunięcie o kilka metrów niżej rejonu gwałtownego spadku natlenienia wody. Spadek ten, na przestrzeni kilku metrów, zazwyczaj wynosił 1-2 mg O_2/dm^3, osiągając wartości nieco powyżej zera lub też wartość zero w dolnej części strefy. Wspomniany gradient spadku najwyższą wartość osiągnął w jeziorach Rajgrodzkim i Raduńskim G. (4,1 mg O_2/dm^3 /m), ale zazwyczaj był dużo niższy. W hipolimnionie strefy pozbawione tlenu rozpuszczonego lub też strefy o niskiej jego zawartości istniały we wszystkich jeziorach stratyfikowanych tj. w dziesięciu głębokich jeziorach, ale zasięg stref beztlenowych zazwyczaj zmniejszył się znacznie - w poszczególnych jeziorach redukcja ich wyniosła kilka metrów. W wodach jezior niestratyfikowanych termicznie temperatura wody oraz zawartość tlenu rozpuszczonego (Sławskie, Sławianowskie) charakteryzowały się innym, ale podobnym rytmem. W większości przypadków temperatura wody obniżyła się, a natlenienie wzrosło.

Tab. 5.2. Stan i temperatura wody jezior w październiku 2026

Lp	Jezioro	$\bar{H}_X$ (1981 – 2020)			H_X			Stan wody	ΔH			T_X			ΔT		
		NNW	SSW	WWW	NW	SW	WW		NW	SW	WW	NT	ST	WT	NT	ST	WT
		[cm]			[cm]				[cm]			[°C]			[°C]		
1	Sławskie	140	162	191	173	174	175	średni	-1	-2	-3	11,2	14,1	16,9	-4,8	-4,4	-3,6
2	Powidzkie	409	449	499	374	376	379	niski	-5	-5	-4	11,8	14,2	16,7	-4,5	-4,1	-3,2
3	Komorze	116	125	137	114	115	116	niski	0	-1	-2	11,0	13,6	16,1	-4,9	-3,9	-3,8
4	Sławianowskie	148	188	226	182	184	186	niski	-3	-4	-5	11,1	13,6	16,0	-4,7	-3,9	-4,0
5	Ostrowite *)	83	94	111	100	103	106	średni	2	4	6	11,1	13,6	16,1	-4,7	-4,1	-4,1
6	Morzycko	148	182	221	181	181	182	niski	-1	-3	-5	10,8	14,0	16,2	-4,9	-4,0	-3,7
7	Rajgrodzkie	107	182	228	178	183	190	średni	-14	-18	-16	11,1	13,3	15,6	-4,3	-4,3	-4,1
8	Dejguny	148	168	195	184	185	188	wysoki	-2	-4	-2	10,8	13,2	15,7	-4,5	-4,0	-3,8
9	Bachotek	162	242	296	264	267	270	średni	-5	-3	-1	10,6	13,5	16,0	-5,5	-4,4	-4,2
10	Jasień	124	136	148	130	131	133	niski	-2	-3	-3	10,6	13,3	15,8	-5,2	-4,5	-4,0
11	Raduńskie G.	477	490	506	484	487	494	niski	-3	-4	-4	9,3	12,0	15,1	-5,1	-4,1	-3,2
12	Dadaj	94	122	172	170	174	178	wysoki	-6	-3	0	10,8	13,5	15,8	-5,1	-4,3	-4,0

*) Ostrowite – wielolecie 2005 – 2020

gdzie:

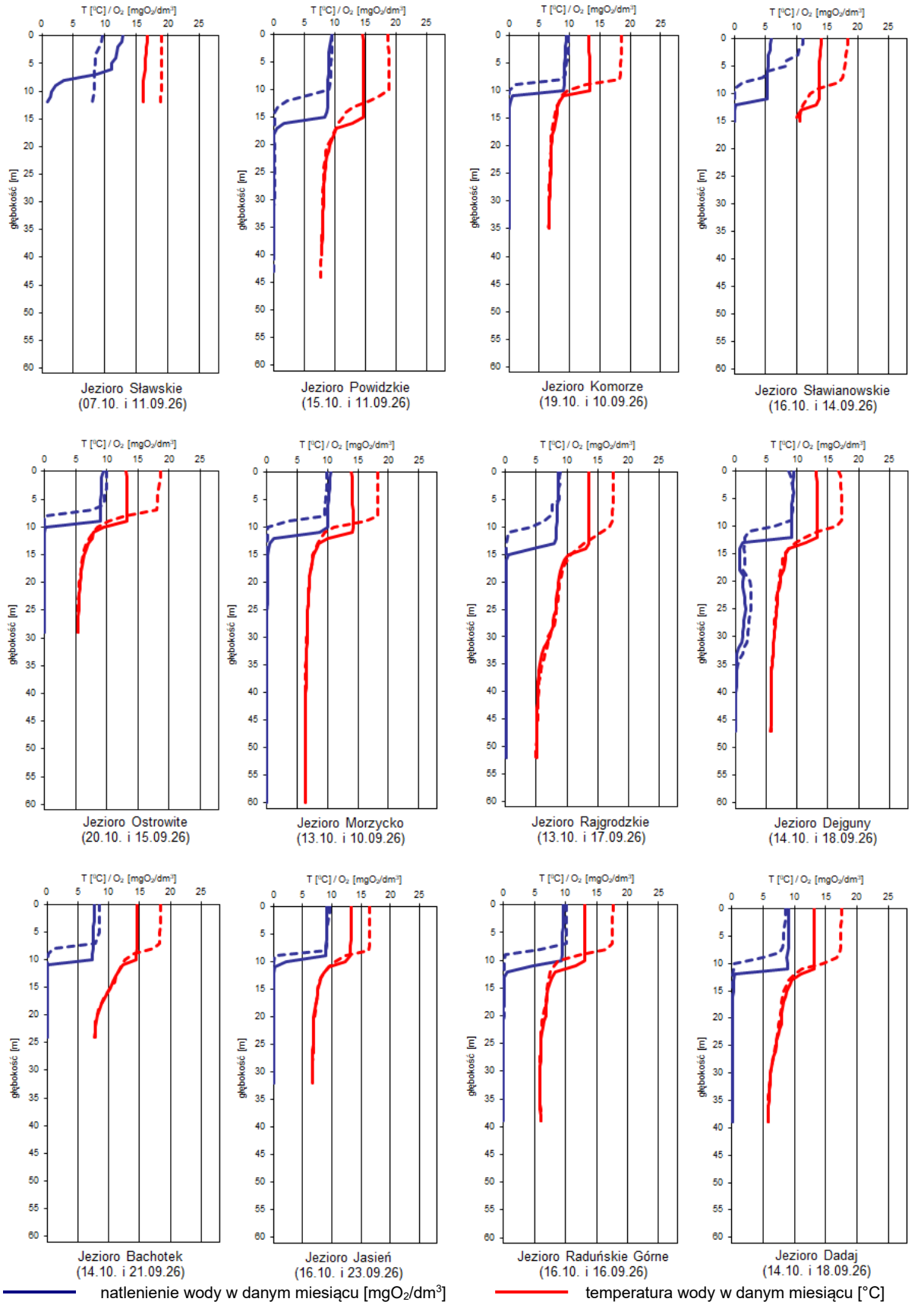
$\bar{H}_m$ - stany charakterystyczne wody w danym miesiącu w wieloleciu 1981-2020
H_m - stany charakterystyczne wody w danym miesiącu
ΔH - zmiany stanów charakterystycznych wody w stosunku do poprzedniego miesiąca

T_m - temperatury charakterystyczne wody w danym miesiącu
ΔT - zmiany temperatur charakterystycznych wody w stosunku do poprzedniego miesiąca

NNW- najniższy stan w danym miesiącu w wieloleciu 1981-2020
SSW- średni stan w danym miesiącu w wieloleciu 1981-2020
WWW- najwyższy stan w danym miesiącu w wieloleciu 1981-2020
NW- najniższy stan w danym miesiącu
SW- średni stan w danym miesiącu
WW- najwyższy stan w danym miesiącu
NT - najniższa temperatura wody w danym miesiącu
ST - średnia temperatura wody w danym miesiącu
WT- najwyższa temperatura wody w danym miesiącu

Tab. 5.3. Przezroczystość wody [m]

Lp	Jezioro	Maj 2026	Czerwiec 2026	Lipiec 2026	Sierpień 2026	Wrzesień 2026	Październik 2026
1	Sławskie	2,1	1,3	1,3	1,2	1,0	0.8
2	Powidzkie	4,0	5,5	6,2	5,1	5,8	6.1
3	Komorze	2,8	4,8	3,0	5,1	3,5	5.9
4	Sławianowskie	2,8	3,6	2,0	1,7	1,1	2.0
5	Ostrowite	6,0	3,8	2,0	2,7	2,8	2.9
6	Morzycko	3,0	7,0	3,9	2,4	4,3	4.8
7	Rajgrodzkie	2,1	4,1	2,5	2,0	2,3	2.0
8	Dejguny	2,7	5,0	3,5	3,1	2,2	2.2
9	Bachotek	3,2	3,3	2,6	1,9	3,5	3.4
10	Jasień	2,6	3,9	2,6	2,3	2,8	3.5
11	Raduńskie Górne	2,5	5,0	4,0	2,4	1,8	2.5
12	Dadaj	1,7	4,6	2,8	1,7	1,9	2.8



Rys. 5.2. Natlenienie i temperatura wody jezior bilansowych

6. Parowanie z powierzchni wody



Rys. 6.1. Lokalizacja stacji ewaporometrycznych

6.1. Parowanie z powierzchni zbiorników ewaporometrycznych zlokalizowanych na lądzie

W październiku sumy miesięczne parowania z basenów 20 m² na wszystkich stacjach ewaporometrycznych były zbliżone do średniej z wielolecia. Wynosiły od 31 mm w Borucinie do 45 mm w Kłodzku. Największe odchylenie od średniej z wielolecia wystąpiło na stacjach w Radzyniu (+18%) oraz w Kłodzku (+15%). W półroczu letnim październik charakteryzuje się z reguły najniższym parowaniem.

Tab. 6.1. Sumy dekadowe i miesięczne parowania z powierzchni wody - basen 20 m^2 - październik 2026

Stacja	1981-2025			październik 2026					
	Max.	Min.	Śr.	I dek.	II dek.	III dek.	Suma	Odchylenie od śr. wieloletniej	
	mm							mm	%
BORUCINO	38	20	30	13	9	9	31	1	3
KŁODZKO[a) *)]	58	30	39	19	12	14	45	6	15
PIŁA	46	25	33	14	11	9	34	1	3
RADZYŃ	43	23	33	16	14	9	39	6	18
SULEJÓW [*)]	51	25	37	20	11	8	39	2	5
WŁODAWA [*)]	52	26	40	20	9	8	37	-3	-8

[a)] Wartości max., min. i średnie obliczono dla okresu 1993-2025
[*)] Stacje włączone do sieci synoptycznej WMO

W tabeli 6.1. podano sumy miesięczne parowania z ewaporometru 20 m^2. Zgodnie z zaleceniami WMO parowanie zmierzone tym ewaporometrem charakteryzuje średnie wieloletnie, sezonowe, straty wody na parowanie z jezior i zbiorników wodnych, średniej wielkości o głębokości średniej w granicach 1,5-5 m i powierzchni zwierciadła wody do 1 km^2 o naturalnym reżimie termicznym. W celu uzyskania zbliżonych do rzeczywistych miesięcznych wartości parowania z jezior położonych w podobnych warunkach klimatycznych jak przedstawione w tabeli [6.1.] stacje ewaporometryczne, zmierzone wartości parowania w poszczególnych miesiącach wymagają skorygowania współczynnikami przeliczeniowymi [R], których wielkość zależy od parametrów morfometrycznych badanego jeziora lub zbiornika wodnego.

Tab. 6.2. Przybliżone wartości współczynnika [R] dla zbiorników o różnej głębokości i powierzchni do 5 km^2

Obiekt wodny	Głębokość [m]	Wartości współczynnika R						
		V	VI	VII	VIII	IX	X	V-X
Głęboki	$h_{śr} \geq 15$ m	0,61	0,89	0,97	1,05	1,25	1,47	0,96
Płytki	$h_{śr} \leq 5$ m	1,01	1,12	1,14	1,17	1,31	1,41	1,15
Stawy rybne	$h_{śr} \geq 1,5\text{-}3,0$ m	1,21	1,29	1,24	1,20	1,13	1,00	1,20

W tabeli 6.3 prezentujemy sumy dekadowe i miesięczne parowania z powierzchni wody w ewaporometrach GGI-3000 (12 stacji). Regułą jest, iż tego typu ewaporometry notują wyższe parowanie w stosunku do basenu 20 m². W październiku na większości stacji wartości parowania w basenach GGI 3000 były zbliżone do wartości średnich z wielolecia i wyniosły od 29 mm w Suwałkach do 49 mm we Włodawie. Najwyższe odchylenie od średniej z wielolecia zanotowano na stacjach w Łebie (+29%), Radzyniu (+18%), Borucinie (+16%).

Tab. 6.3. Sumy dekadowe i miesięczne parowania z powierzchni wody-ewaporometr GGI-3000 - październik 2026

Stacja	2010-2025			październik 2026					
	Max.	Min.	Śr.	I dek.	II dek.	III dek.	Suma	Odchylenie od średniej	
	mm			mm				mm	%
BORUCINO	38	25	31	14	10	12	36	5	16
JARCZEW	64	34	45	25	10	10	45	0	0
KŁODZKO	68	34	43	20	12	14	46	3	7
PIŁA	53	27	39	15	12	11	38	-1	-3
RADZYŃ	58	30	38	18	16	11	45	7	18
SANDOMIERZ	44	30	36	19	8	9	36	0	0
SULEJÓW	50	31	40	22	11	11	44	4	10
WŁODAWA	71	35	50	30	10	9	49	-1	-2
ZAKOPANE	52	18	35	14	12	9	35	0	0
ŁEBA [a)]	46	23	34	18	15	11	44	10	29
SUWAŁKI [b)]	36	27	32	13	9	7	29	-3	-9
MŁAWA [c)]	46	31	37	17	9	8	34	-3	-8

[a)] Wartości max., min. i średnie obliczono dla okresu 2011-2025
[b)] Stacja ewaporometryczna od 2024 roku
[c)] Stacja ewaporometryczna od 2016 roku

6.2. Parowanie z powierzchni jezior

W tabeli 6.4 przedstawione zostały wyniki zmierzonego parowania w ewaporometrze GGI-3000 na czterech posterunkach pływających (tratwach) i zredukowane wzorem. Na wszystkich stacjach pływających (tratwach ewaporometrycznych) sumy miesięczne parowania osiągnęły zbliżone wartości i wyniosły od 47 mm na Jeziorze Rajgrodzkim do 52 mm na pozostałych jeziorach. Najwyższe odchylenie od średniej z wielolecia zanotowano na posterunkach w Buntowie (+18%) i Rajgrodzie (-15%).

Tab. 6.4. Sumy dekadowe i miesięczne parowania (rzeczywistego) z powierzchni jezior – październik 2026

Jezioro	Posterunek	2019-2025			październik 2026					
		Max.	Min.	Śr.	I dek.	II dek.	III dek.	Suma	Odchylenie od śr. wieloletniej	
		mm			mm				mm	%
Sławskie	Radzyń	80	34	53	19	19	14	52	-1	-2
Sławianowskie	Buntowo	53	31	44	21	17	14	52	8	18
Rajgrodzkie	Rajgród	82	35	55	21	15	11	47	-8	-15
Raduńskie Górne	Borucino	62	38	48	20	17	15	52	4	8

Rozpowszechnianie powyższych danych wyłącznie z podaniem IMGW-PIB jako źródła informacji

INSTYTUT METEOROLOGII I GOSPODARKI WODNEJ
PAŃSTWOWY INSTYTUT BADAWCZY
01-673 Warszawa, ul. Podleśna 61

Internet: http://www.imgw.pl

e-mail: biuletyn@imgw.pl